



清華大學

Tsinghua University

多铁性磁电复合薄膜

南策文

清华大学材料科学与工程系

致谢



清华大学

Tsinghua University

林元华，刘刚，周剑平，邓朝勇，施展
何泓材，王瑶，马静，张毅，王婧，李铮，刘静

- 国家自然科学基金会
- 国家科技部 973计划



提 纲

- I. 背景
- II. 1-3型柱状复合薄膜
- III. 0-3型颗粒复合薄膜
- IV. 2-2型叠层复合薄膜
- V. 单层薄膜复合
- VI. 结语

1. 背景

铁性 (ferroics)

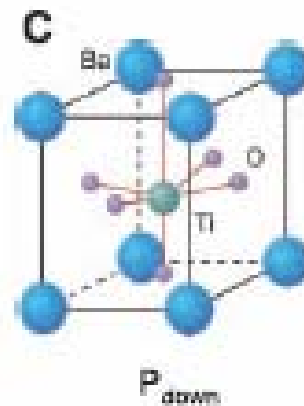
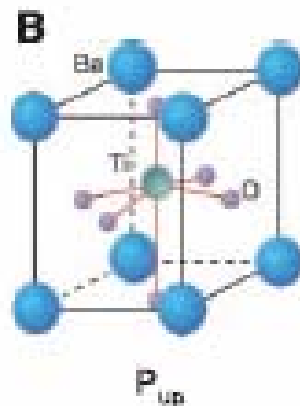
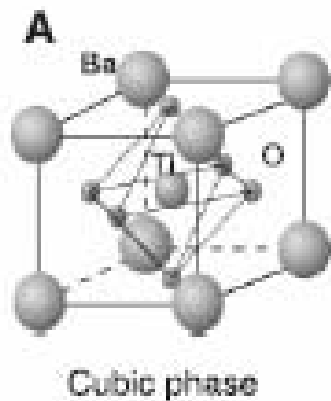
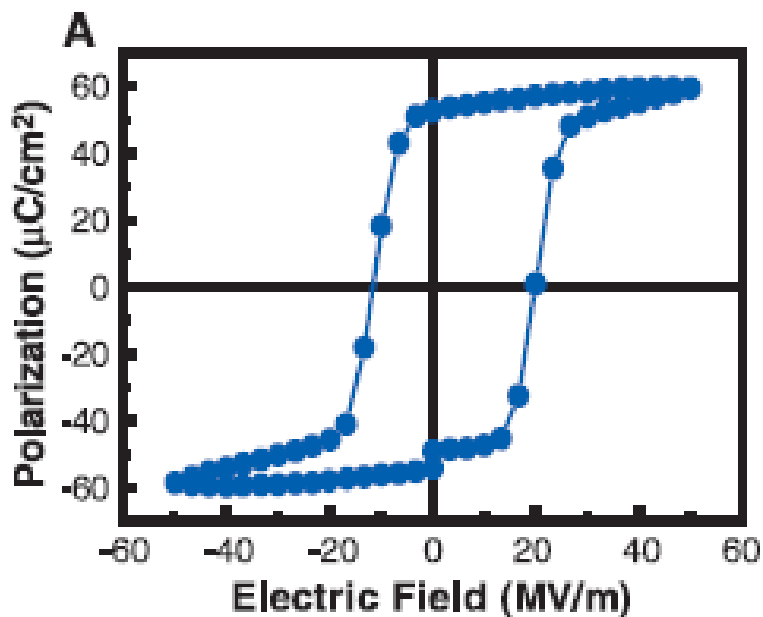
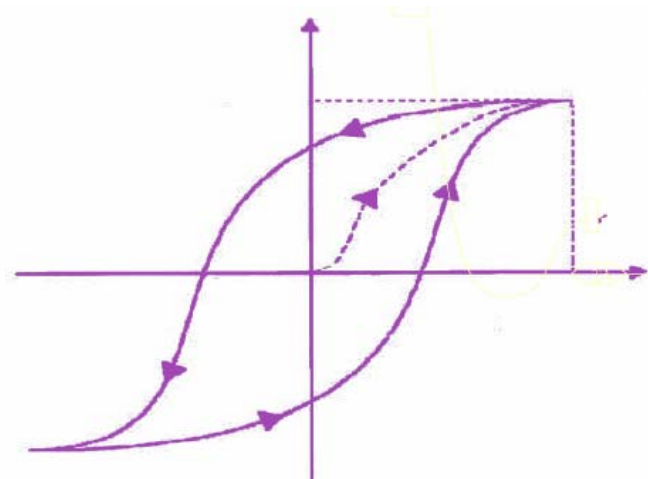


Fig. 1. Crystal structure of the perovskite ferroelectric $BaTiO_3$.

	驱动场	序参量	实例
铁电	电场	自发极化	$BaTiO_3$
铁磁	磁场	自发磁化	Fe_3O_4
铁弹	应力	自发胁变	$CaAl_2Si_2O_8$



多铁性与磁电



清华大学

Tsinghua University

多铁性 (multi-ferroics):

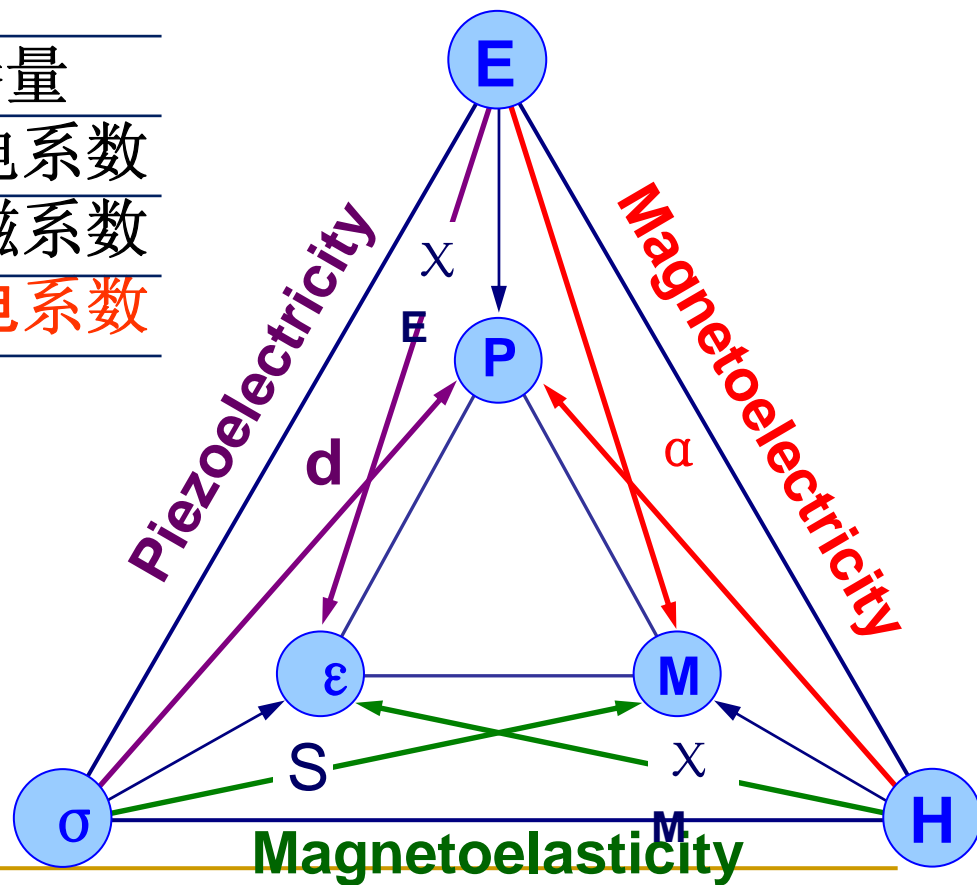
即具有两种或两种以上初级铁性体的特征

	驱动场	参量
铁弹铁电	电场和应力	压电系数
铁磁铁弹	磁场和应力	压磁系数
铁磁铁电	磁场和电场	磁电系数

$$\epsilon = s \sigma + d^T E + q^T H$$

$$P = \kappa E + d \sigma + \alpha H$$

$$M = \chi H + q \sigma + \alpha E$$



多铁性 Magnetoelectrics

* 正磁电效应:

磁场 调控 电性

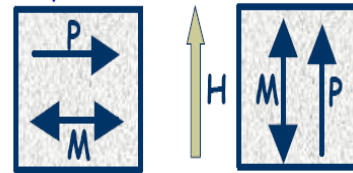
$$P = a H \text{ or } E = a_E H$$

* 逆磁电效应:

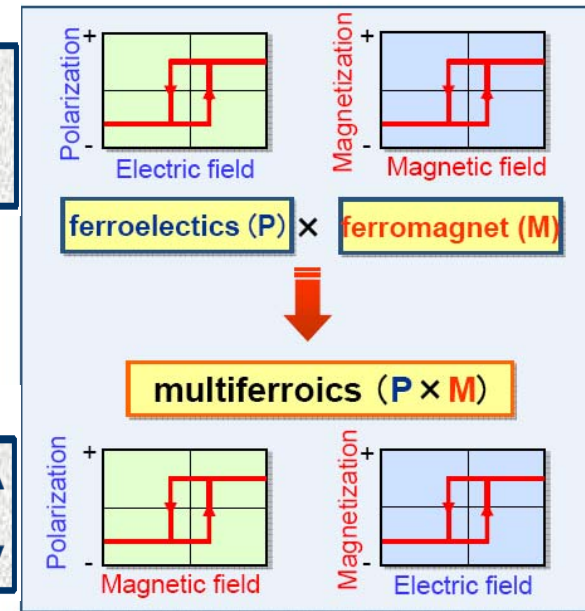
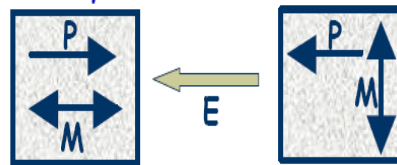
电场 调控 磁性

$$M = a E$$

Rotation of P axis by rotation of M:



Rotation of M axis by reversal of P:



(Tokura, *JMMM*, 2007)

多铁性磁电材料



清华大学

Tsinghua University

多铁性磁电化合物

- ✓ 本征效应
- 耦合微弱
- 低温、强场操纵
- 远离实际应用

☆ BiFeO_3 A位孤对电子 B位磁性离子

☆ YMnO_3 几何驱动

☆ TbMnO_3 低对称性磁基态

多铁性磁电复合材料

铁电-铁磁复合

- 非本征效应
- ✓ 强耦合：巨磁电效应
- ✓ 室温、低场操纵
- ✓ 实际应用

- 块材
- 低维纳米结构

块体复合材料



清华大学

Tsinghua University

➤ 陶瓷复合材料

Philips Lab (*J Mater Sci*, 1974)

➤ 铁电-合金复合材料

Nan et al. 理论预测 (*Phys Rev B*, 2001)

Ryu et al. 实验 (*J Am Ceram Soc*, 2001)

Dong et al. 实验 (*Appl Phys Lett*, 2003)

➤ 陶瓷-合金-高分子复合材料

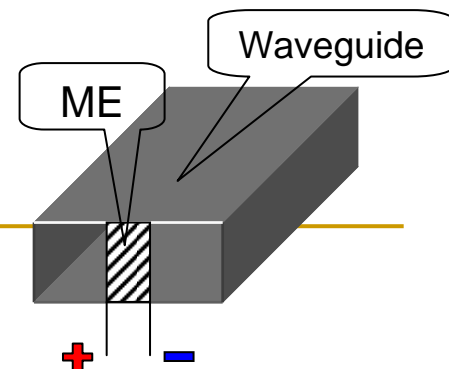
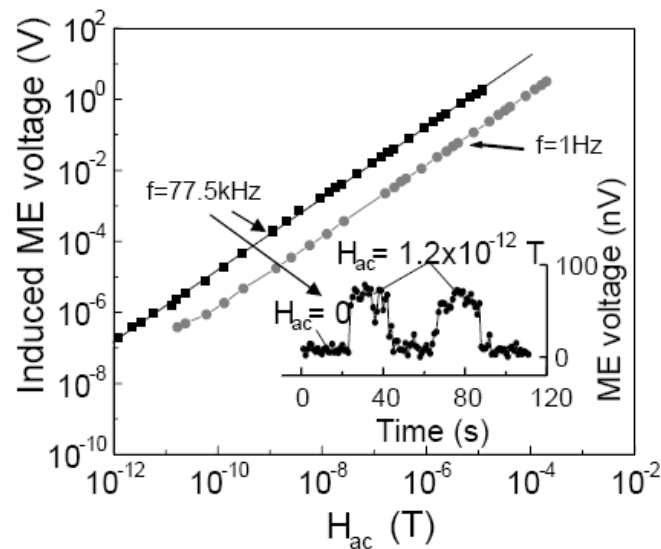
Nan et al. (*Appl Phys Lett*, 2002)

Wan & Liu et al. (*J Appl Phys*, 2003)

应用

✓ (磁调控电) 传感器

✓ (电调控磁) 微波器件



Nan et al., *J. Appl. Phys.* 103, 031101 (2008).

为什么多铁性磁电复合薄膜？



清华大学

Tsinghua University

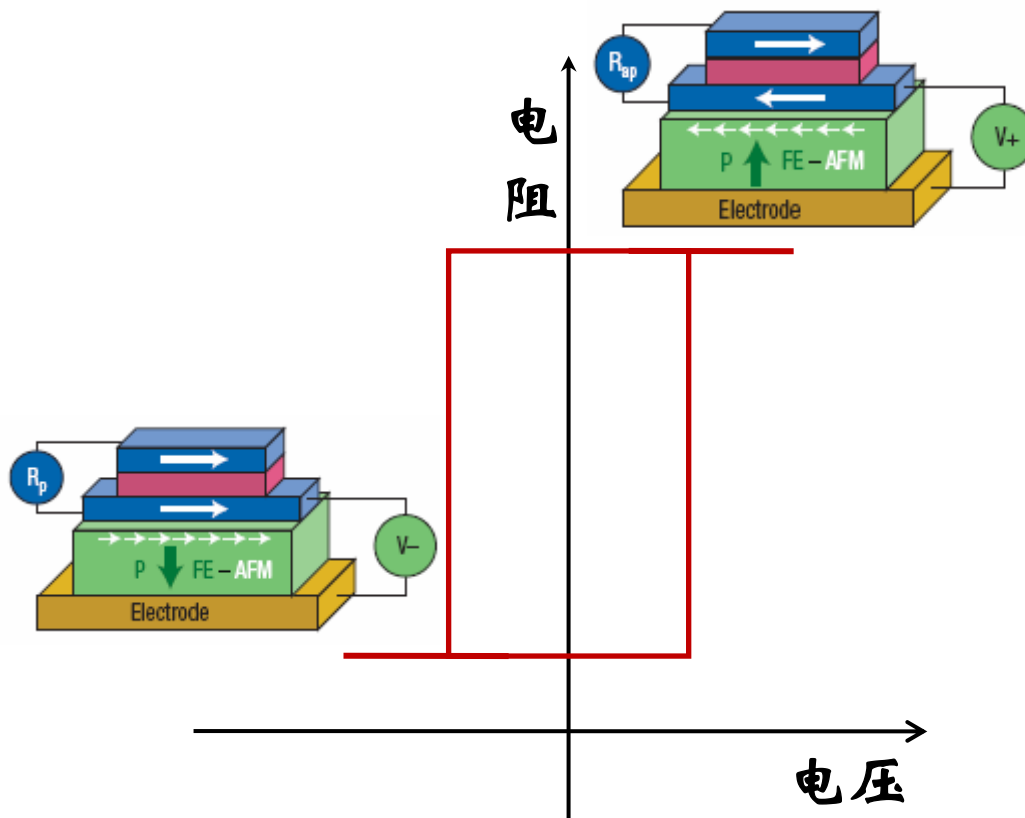
- 应用驱动
- 纳米尺度耦合作用？

磁 调 控 电：

- ✓ 微磁场传感器

电 调 控 磁：

- ✓ 自旋电子器件
- ✓ 多态存储器件



磁电 RAMs

磁电存储器概念

多铁性磁电复合薄膜

Main Historical Perspective:

- 2004 Zheng et al (*Science* 303, 2004): $\text{CoFe}_2\text{O}_4/\text{BaTiO}_3$ nanostructured films
- 2005 Nan et al. (*Phys. Rev. Lett.* 94, 2005): theoretical modeling
- 2005— Many groups: PZT/ferrites, BiFeO_3 /ferrites, $\text{BaTiO}_3/\text{LaSrMnO}_3$, etc

Nanostructured films of ferroelectric and magnetic oxides:

Processing: PLD or Sol-gel spin-coating

Strain-Mediated 耦合机制

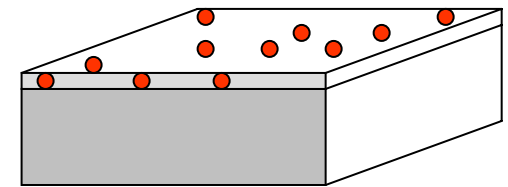
相组成与微结构



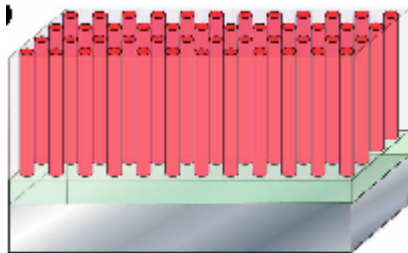
铁电相	磁性相
BaTiO ₃ , PbTiO ₃ , PZT BiFeO ₃	MFe ₂ O ₄ (M=Co,Ni) (La,M)MnO ₄ (M=Ca,Sr)



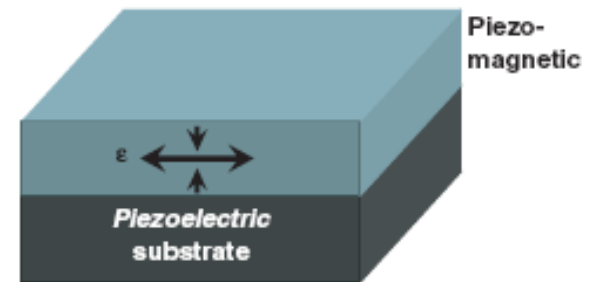
2-2 multilayers



0-3 particulate film



1-3 nanopillar array



Single layer film

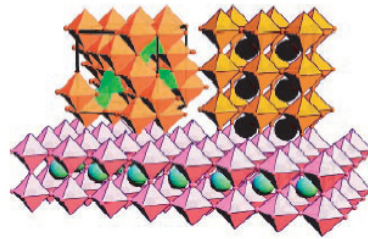
II、1-3型柱状复合薄膜



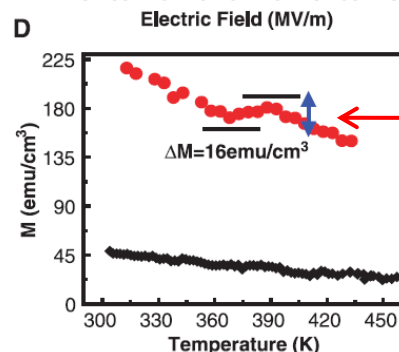
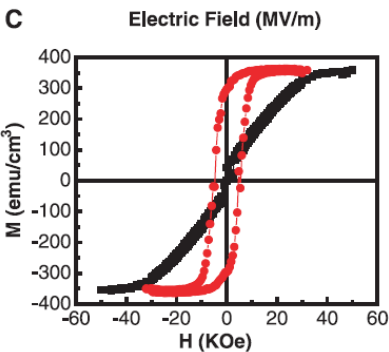
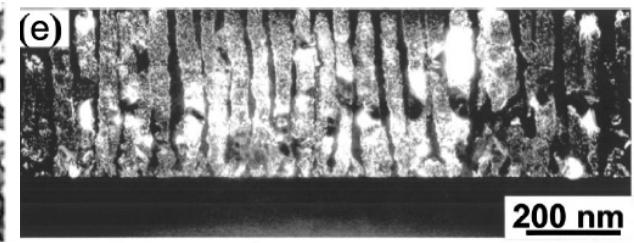
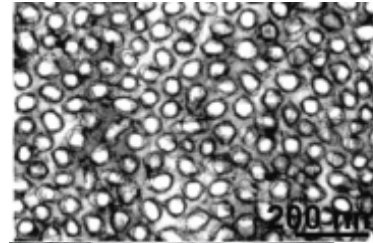
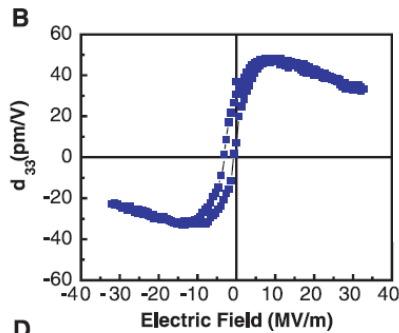
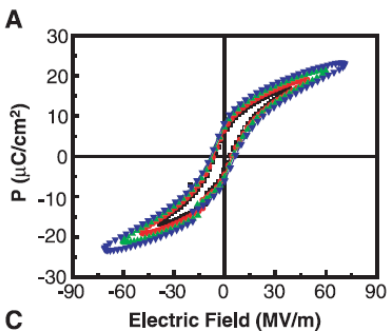
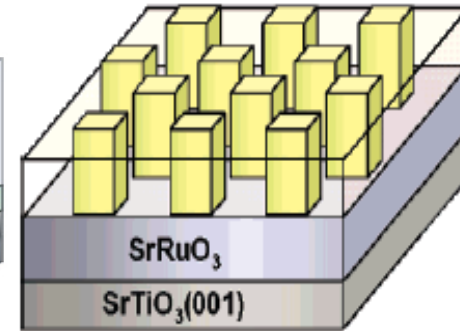
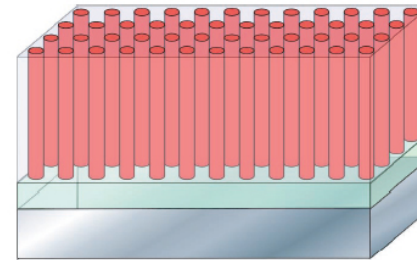
清华大学
Tsinghua University

0.35CoFe₂O₄-0.65aTiO₃ (BiFeO₃) by PLD

(a)



(b)

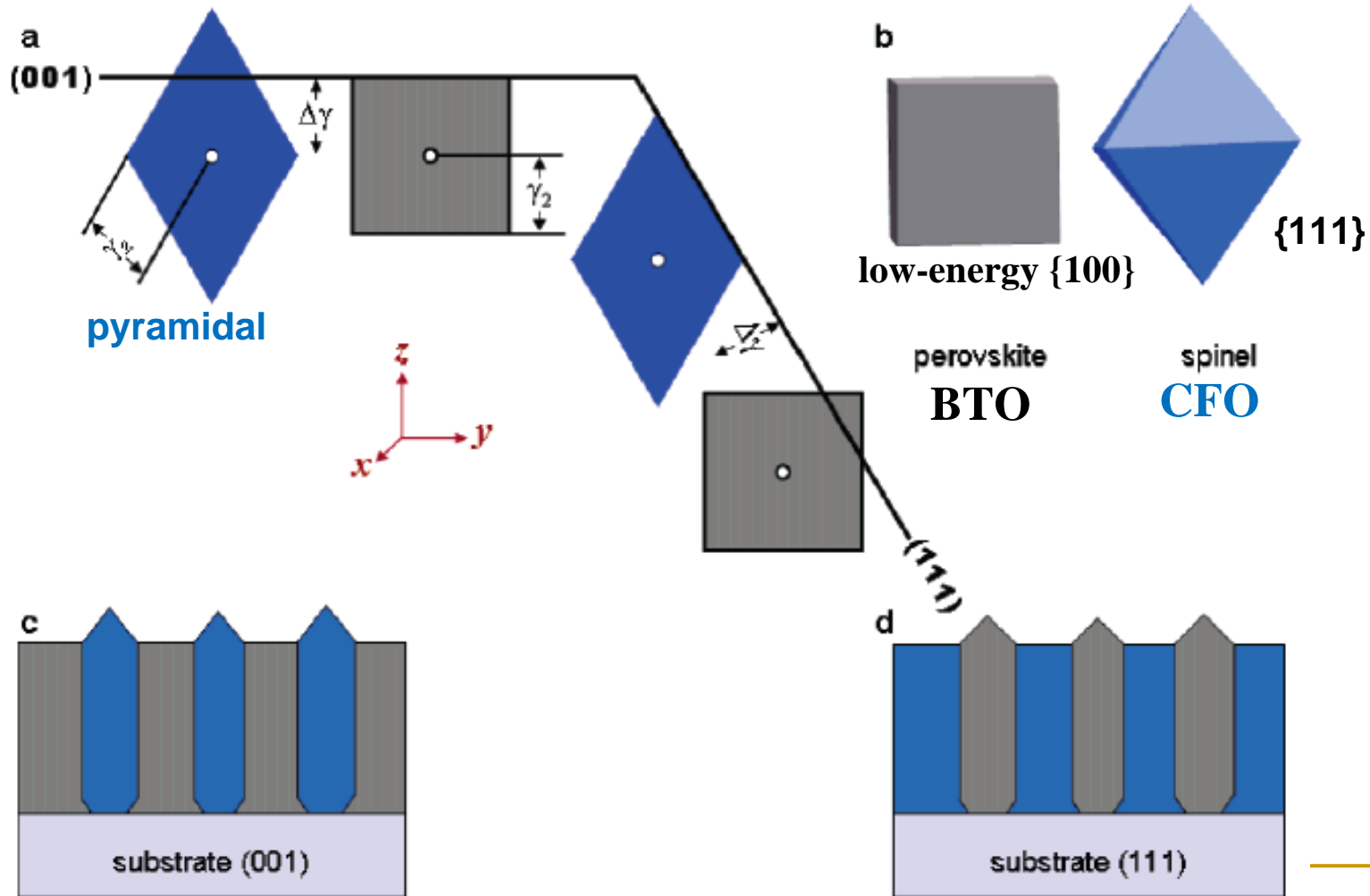
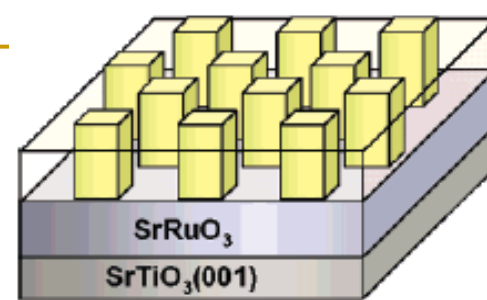


Elastic coupling between two nanophases

Strain-Mediated 耦合机制

(H. Zheng et al, *Science* 303, 2004)

1-3 型柱状复合结构生长



(H. Zheng et al, *Adv. Mater.* 2006)

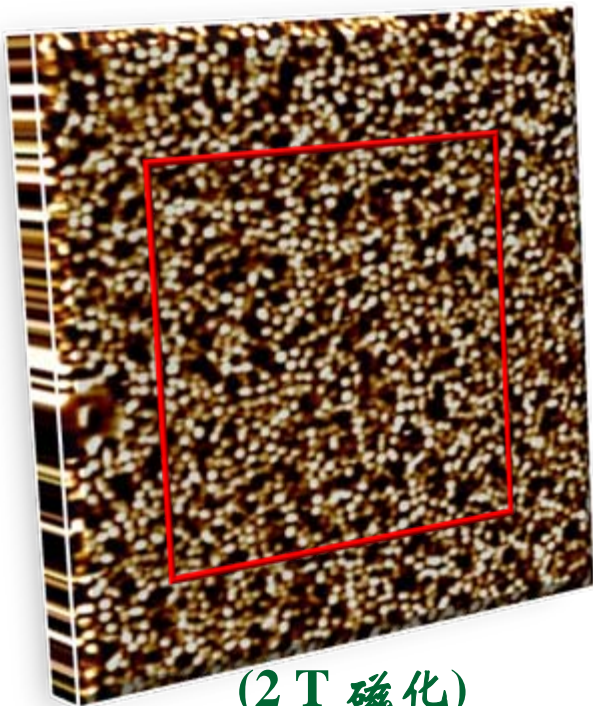
磁电耦合观察

MFM (磁力显微镜)



清华大学

Tsinghua University

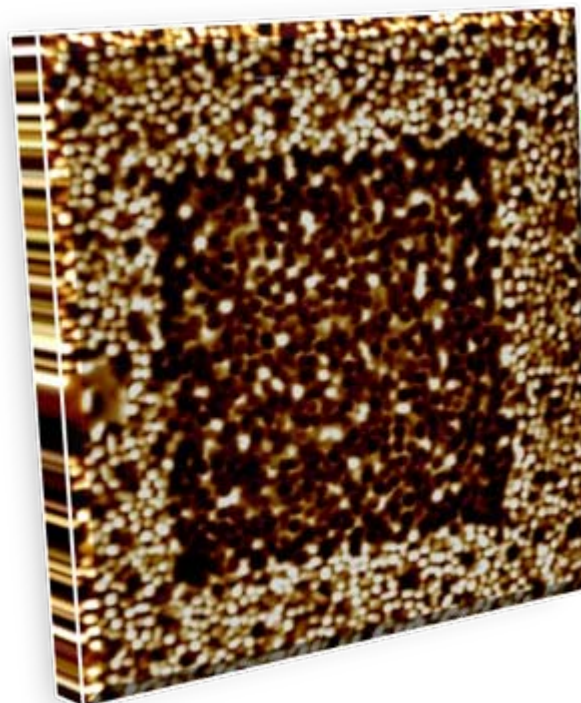


(2 T 磁化)

Tapping-lift MFM
after DOWN magnetization at 2T

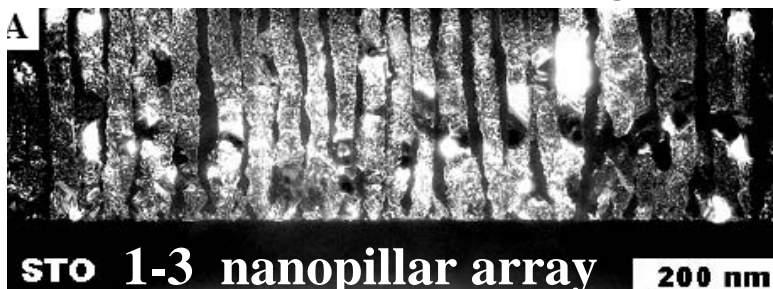
$\text{CoFe}_2\text{O}_4\text{-BaTiO}_3$

Tapping-lift MFM
after electrical poling at -16V



DOWN to UP:
80±5%

(电压 = 16 V, 700 Oe)

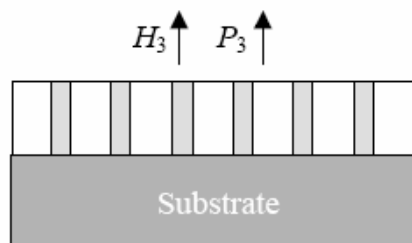


STO 1-3 nanopillar array

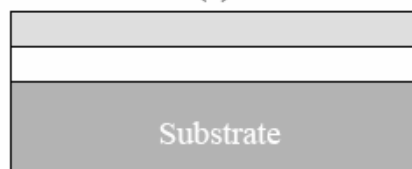
200 nm

Zavaliche *et al.*, *Nano Lett.* 5, 1793 (2005).
Nano Lett. 7, (2007).

有效介质方法



(a)



(b)

$$\sigma = \mathbf{c}\epsilon - \mathbf{e}^T \mathbf{E} - \mathbf{c}\epsilon^{ms} - \sigma_s,$$

$$\mathbf{D} = \mathbf{e}\epsilon + \kappa \mathbf{E} + \alpha \mathbf{H} + \mathbf{P}_s,$$

$$\mathbf{B} = \mu(\epsilon, \mathbf{E}, \mathbf{H})\mathbf{H} + \mathbf{M}_s,$$

基片约束作用

$$\bar{\mathbf{P}} = \alpha^* \langle \mathbf{H} \rangle + \bar{\mathbf{P}}_s$$

$$\begin{aligned} \bar{\mathbf{P}} = (1 - f) \left\{ \mathbf{P}_s + (\kappa^p - \kappa^*) \mathbf{G}^\phi (\mathbf{P}_s - \mathbf{e}^p \mathbf{G}^u \sigma_s^p) + (\mathbf{e}^* - \mathbf{e}^p) \mathbf{G}^u (\sigma_s^p + \mathbf{e}^T \mathbf{G}^\phi \mathbf{P}_s) \right\} \\ + f \mathbf{e}^* [\mathbf{I} - \mathbf{G}^u (\mathbf{c}^m - \mathbf{c}^p)]^{-1} (\mathbf{c}^m \epsilon^{ms} + \sigma_s^m), \end{aligned}$$



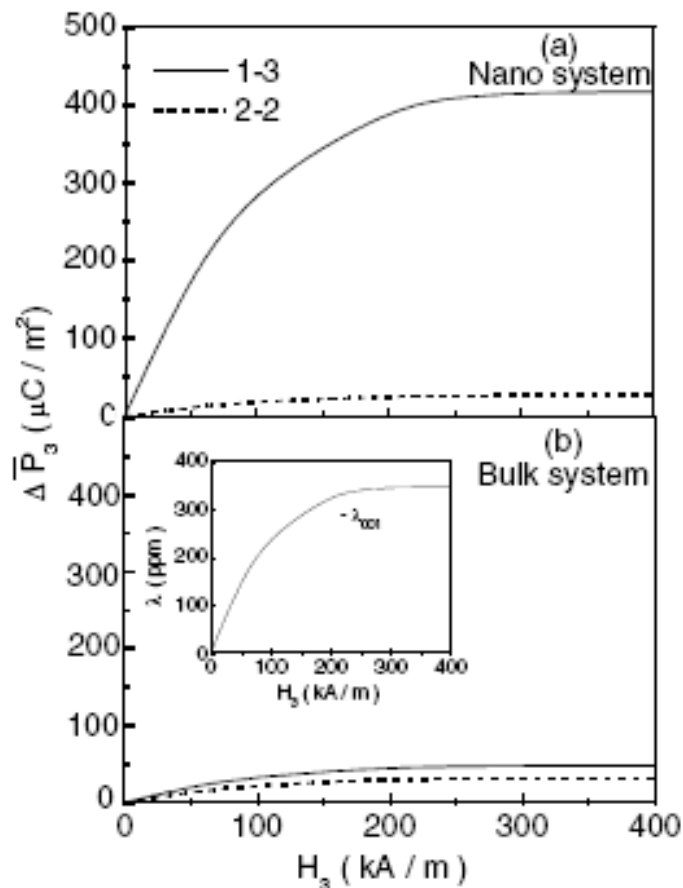
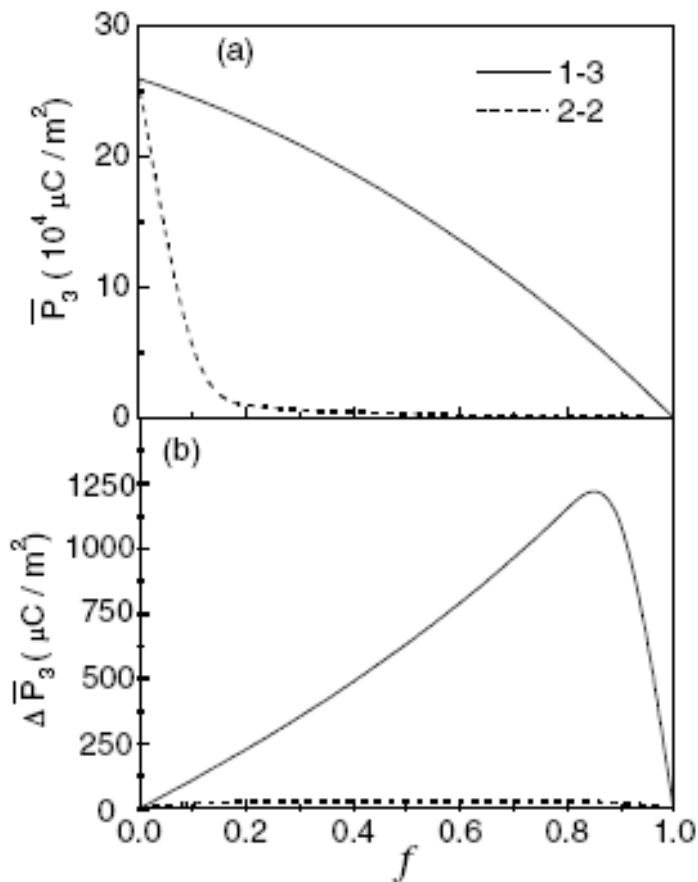
计算结果

1-3 型:

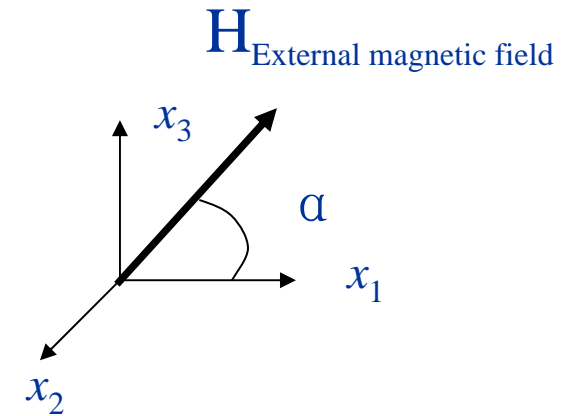
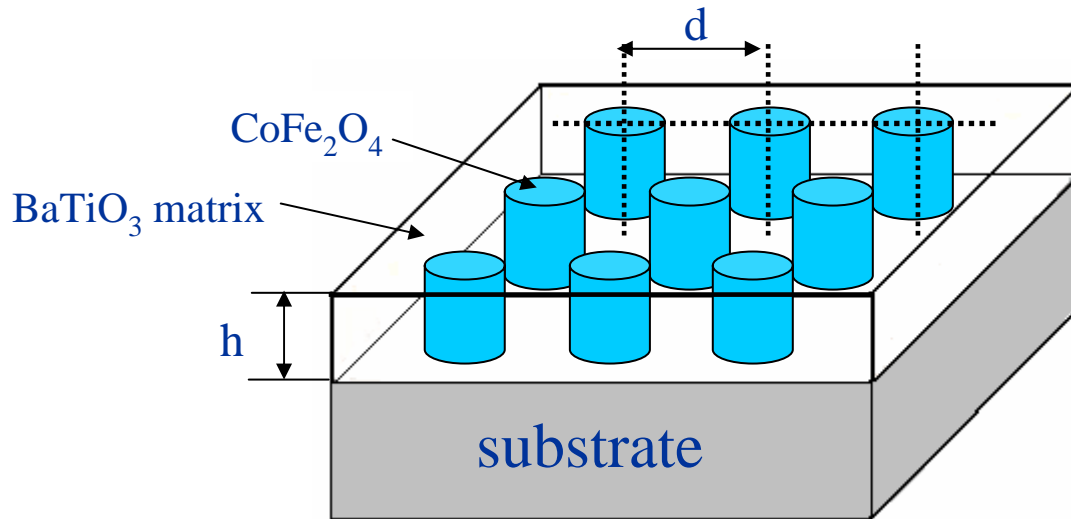
2-2 型:

$$\bar{P}_3 = (1 - f)P_{s3} + \frac{2f(1 - f)e_{31}^p}{\bar{k} + c_{11}^p - c_{12}^p} (\sigma_{11}^p - \sigma_{11}^m)$$

$$\bar{P}_3 = (1 - f) \frac{\kappa_{33}^m}{\bar{\kappa}_{33}} P_{s3} + \frac{f(1 - f)e_{33}^p \kappa_{33}^m}{\bar{c}_{33} \bar{\kappa}_{33}} (\sigma_{33}^p - \sigma_{33}^m)$$



相场方法 Phase-field method



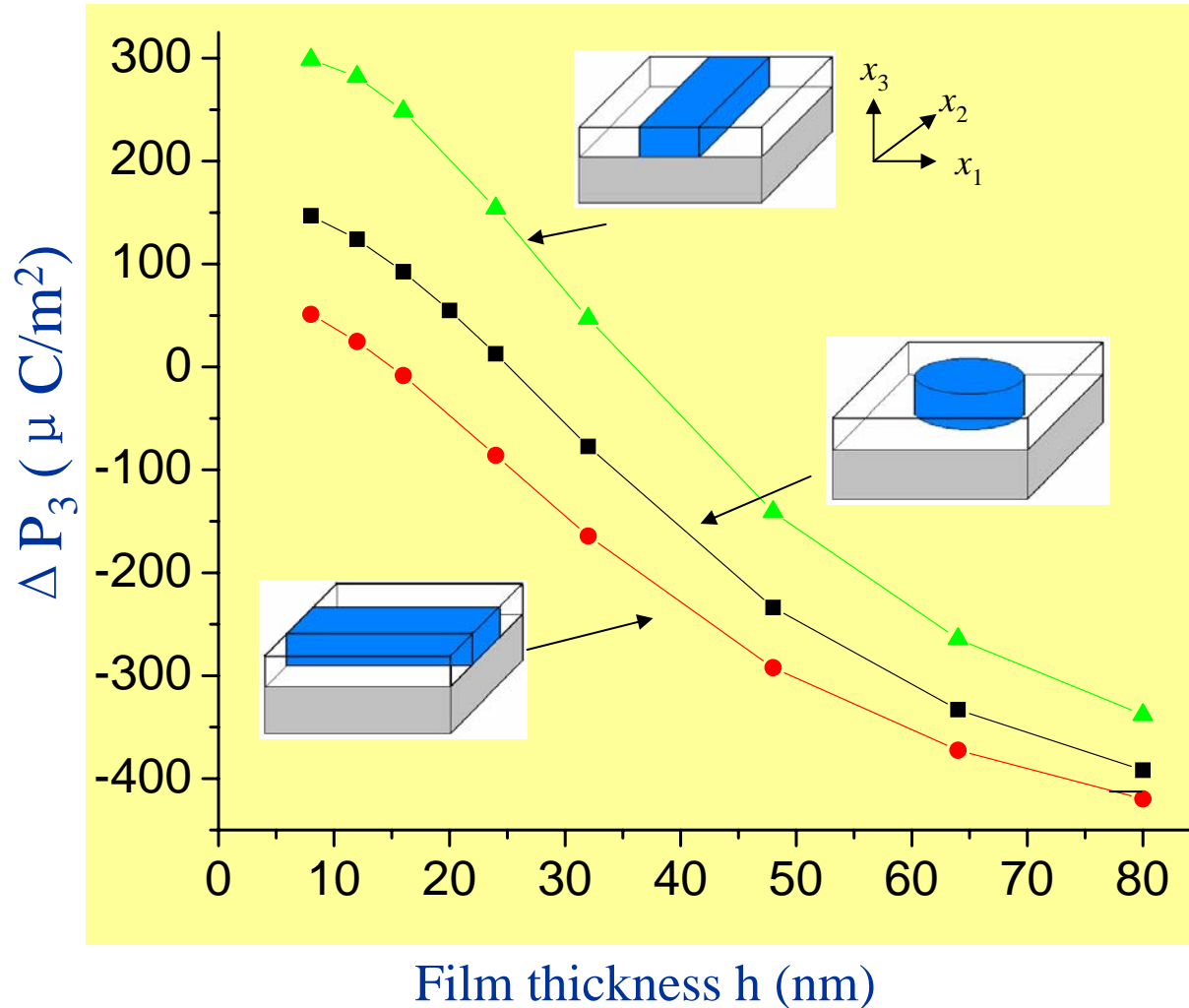
Magnetic-Field-Induced Electric Polarization (MIEP)

$$\Delta \overline{P}_3 = \overline{P}_3 - \overline{P}_3(H // x_1)$$

Phase-field method 结果



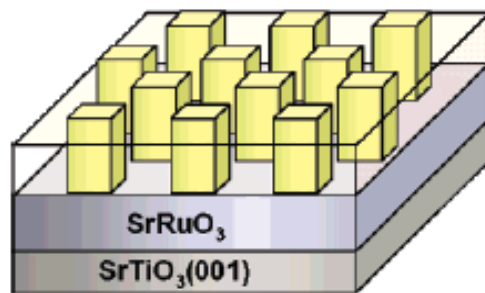
清华大学
Tsinghua University



$$\epsilon_{11}^s = \epsilon_{22}^s = -0.005$$



1-3型柱状复合薄膜



- ◆ 制备难度大、不易控制
- ◆ 柱状磁性氧化物导致漏电流大

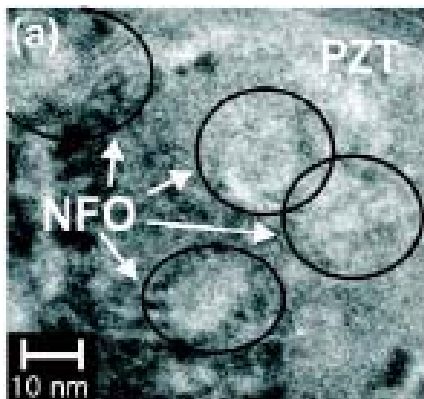
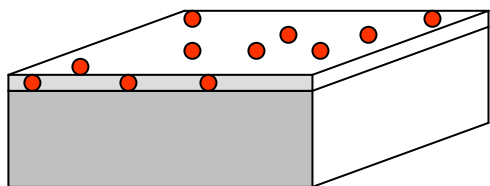
III、0-3型颗粒复合薄膜



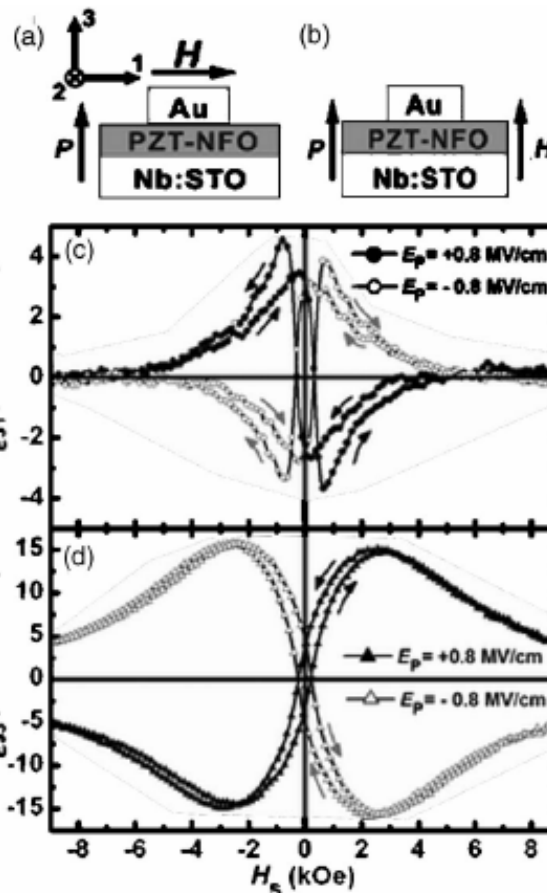
清华大学

Tsinghua University

磁场 调控 电性



0.35NFO-0.65PZT on (001)STO by PLD



Strain-Mediated 耦合机制

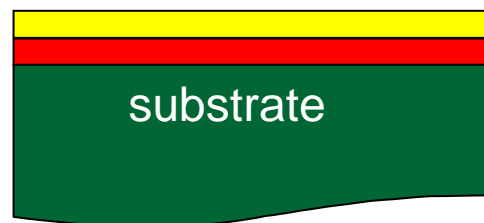
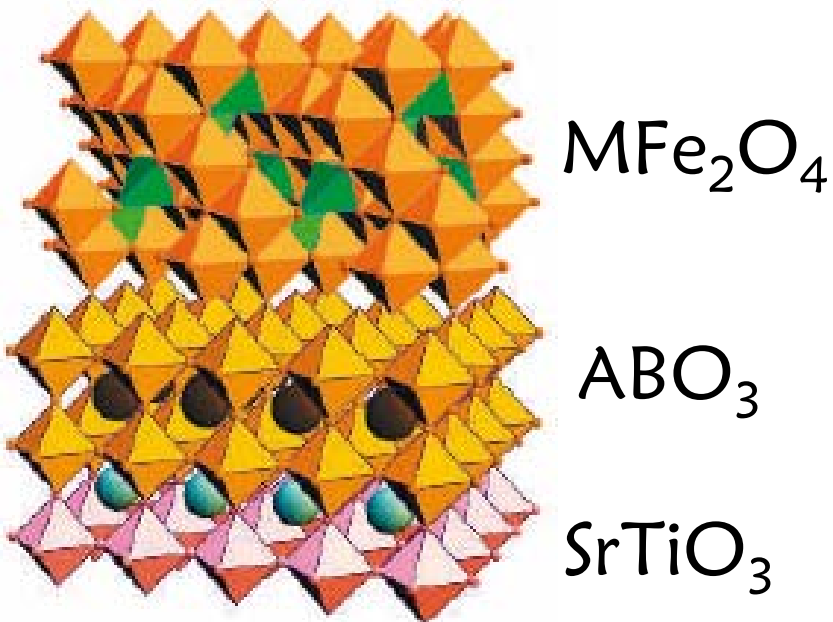
Ryu et al., Appl. Phys. Lett., 80, 102907 (2006)

IV、2-2型叠层复合薄膜

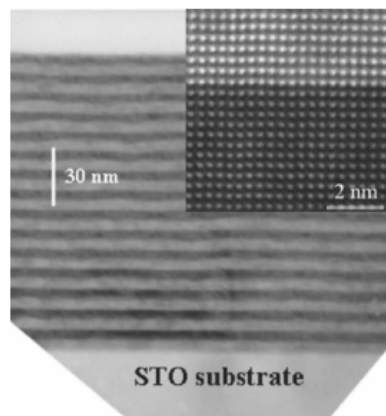


清华大学

Tsinghua University



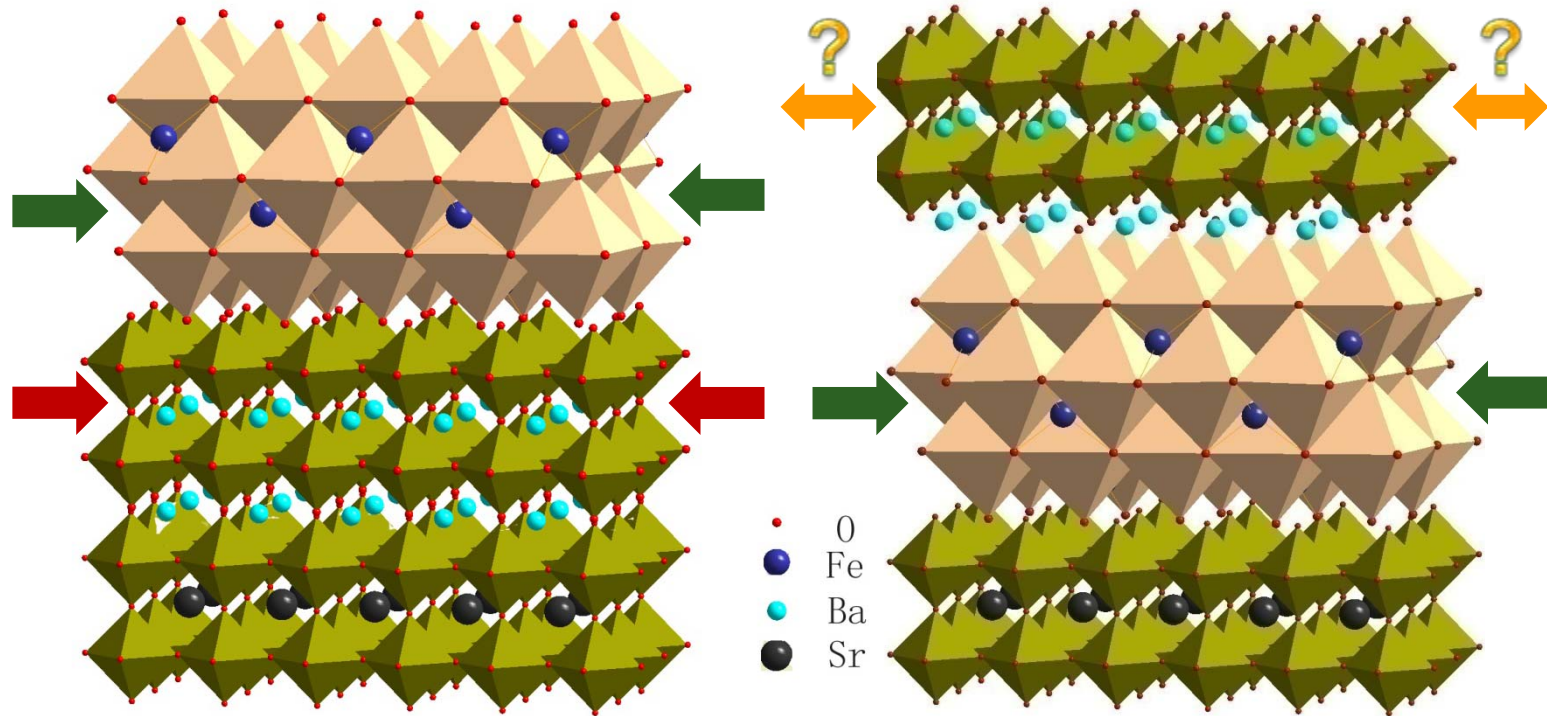
- ◆ 易于控制生长
(PLD, sol-gel)
- ◆ 易于器件集成结构
- ◆ 抑制了漏电流



Horizontal heterostructure



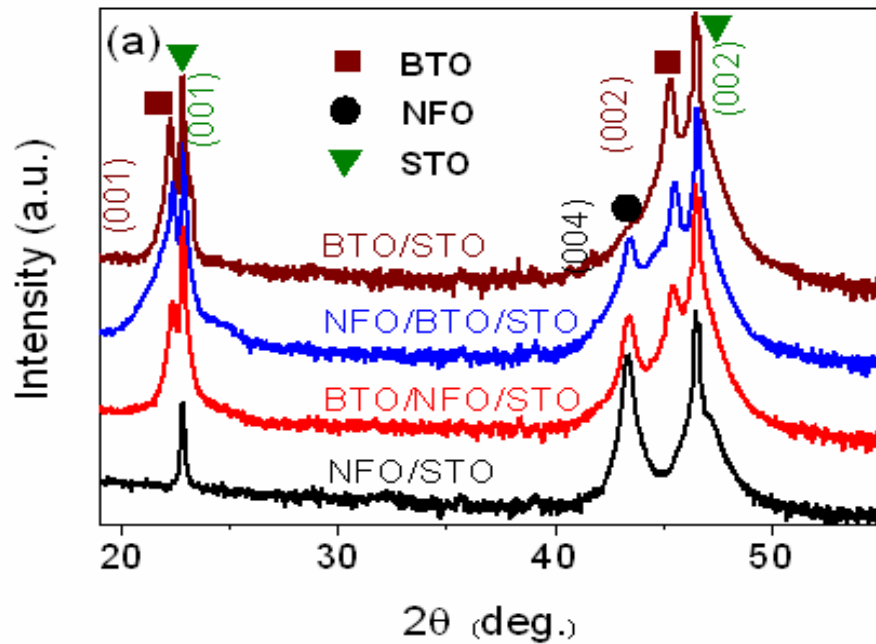
清华大学
Tsinghua University



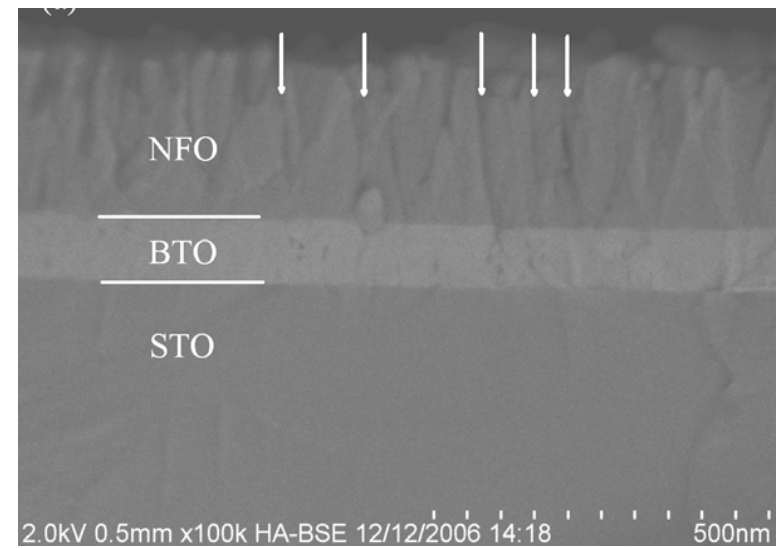
NFO/BTO/STO

BTO/NFO/STO

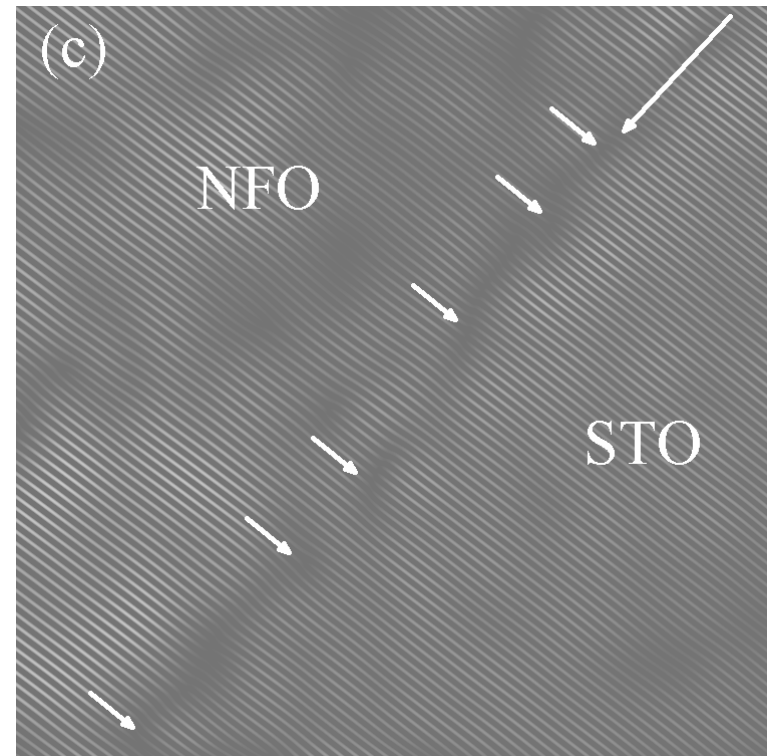
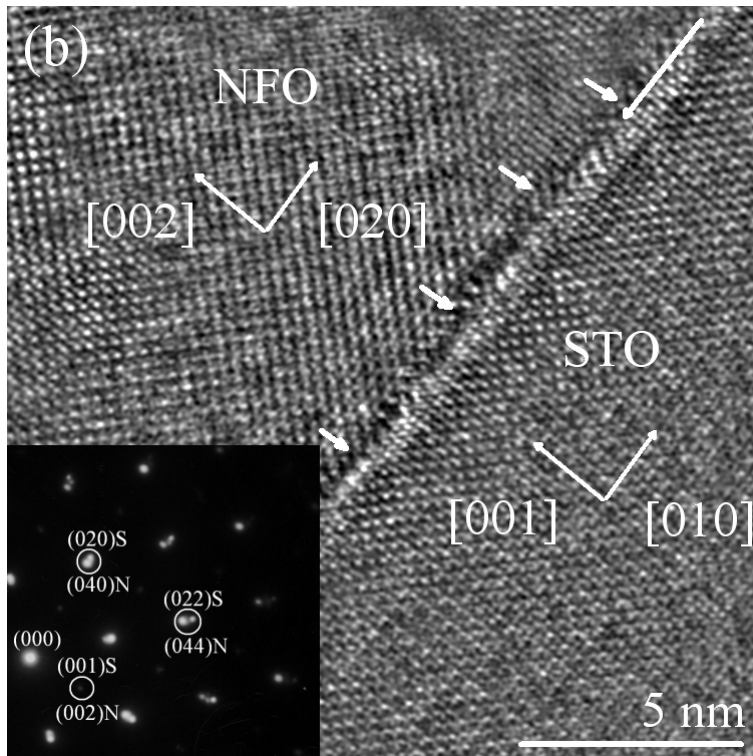
NFO-BTO on (001) STO by PLD



XRD patterns of composite and single phase films



Dislocations in films



HRTEM(left) and inverse FFT(right) image for NFO-STO interface and SAED from both NFO and BTO layers of the BTO/NFO/STO film

Strain state

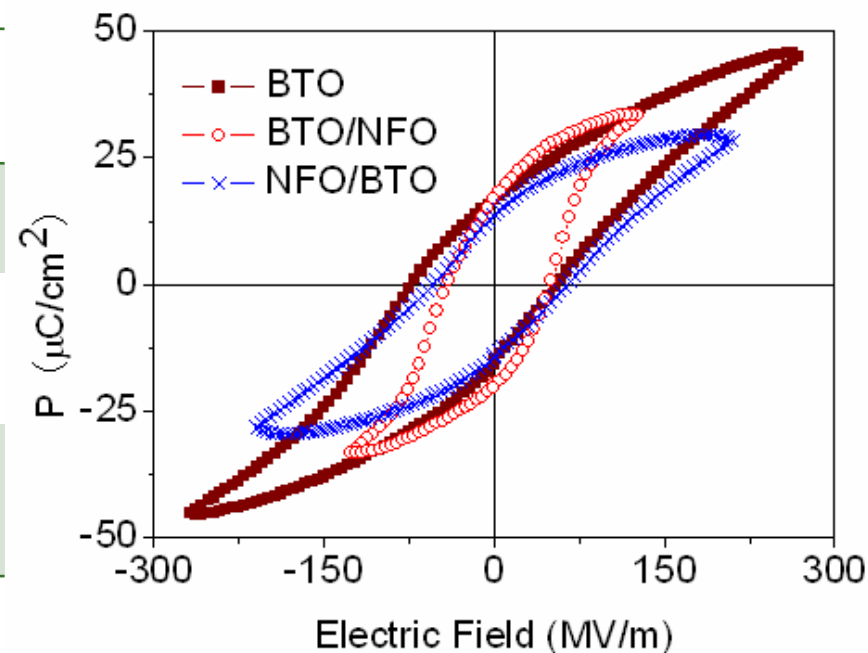
	BTO		NFO	
	$c(\text{\AA})$	$\Delta c/c(\%)$	$a(\text{\AA})$	$\Delta a/a(\%)$
NFO/BTO	4.017	-0.52	8.331	-0.07
BTO/NFO	4.008	-0.75	8.324	-0.16
Bulk value	4.038	/	8.337	/

$\Delta c/c = (c - c^*)/c$ and $\Delta a/a = (a - a^*)/a$, where c^* and a^* are the lattice constants of the bulk single crystal



Ferroelectric hysteresis

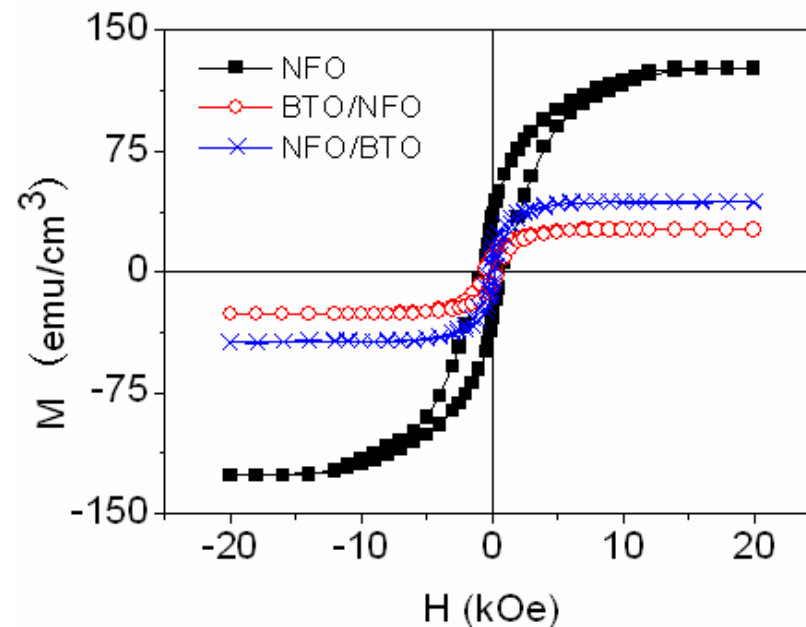
	P_s $\mu\text{C}/\text{cm}^2$	P_r $\mu\text{C}/\text{cm}^2$	E_c MV/m
BTO	46	18	64
NFO/BTO	28	14	59
BTO/NFO	33	19	46



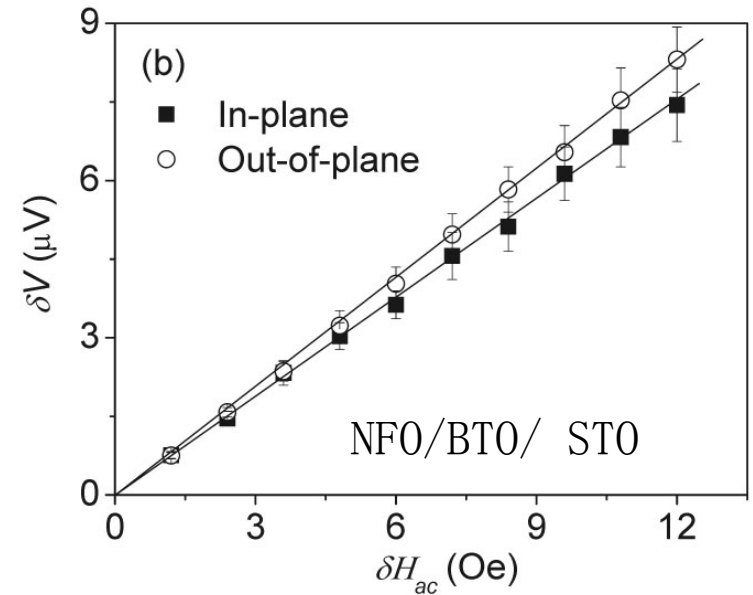
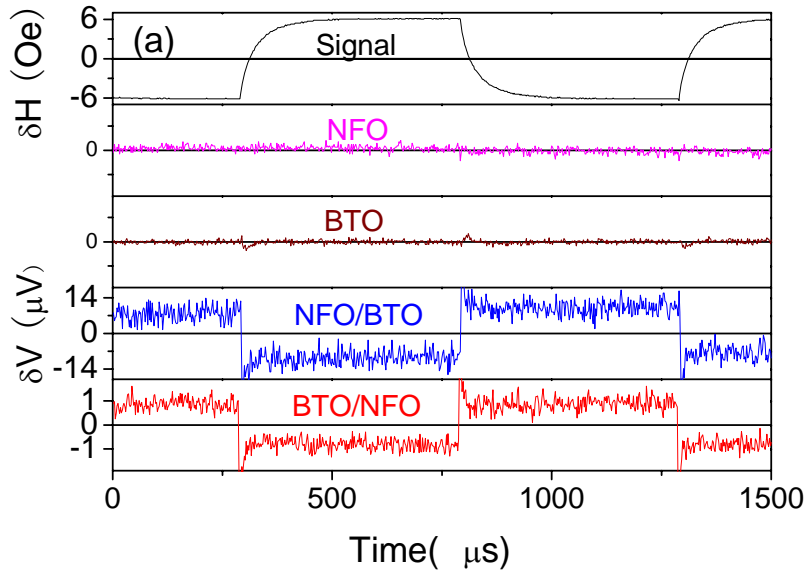


Ferromagnetic hysteresis

	M_s emu/cm^3	H_c Oe
NFO	126	820
BTO/NFO	26	600
NFO/BTO	44	230

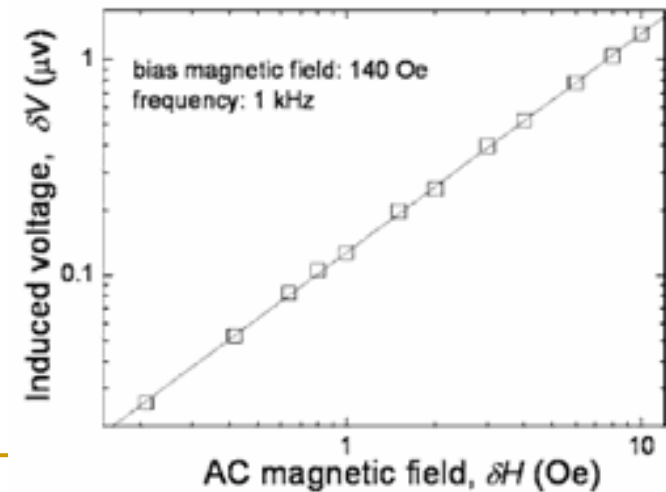
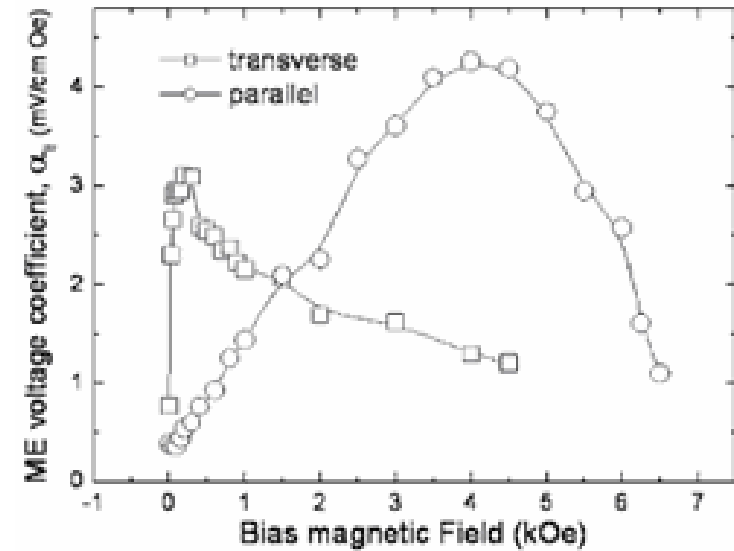
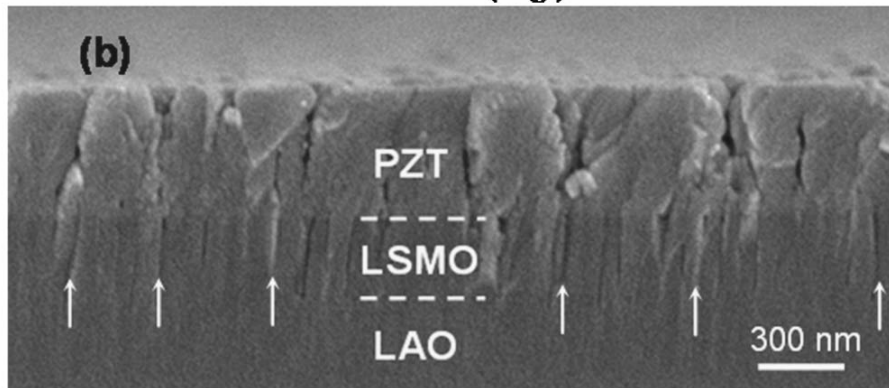
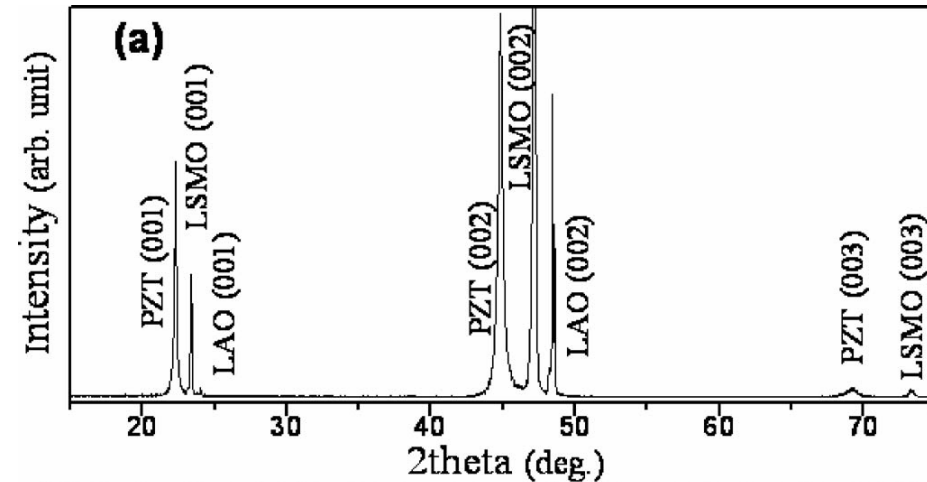


ME effect: 磁场调控电性



	In-plane (mV/cm Oe)	Out-of-plane (mV/cm Oe)
BTO/NFO	5.3	4.9
NFO/BTO	43.9	39.2

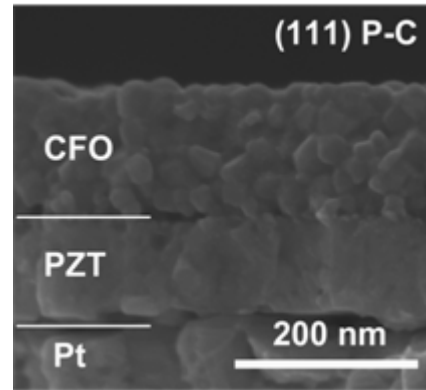
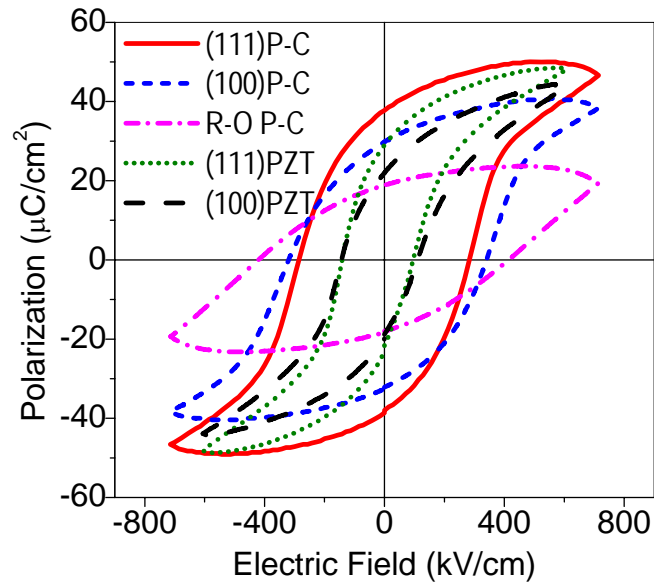
PZT/LSMO on LAO by PLD



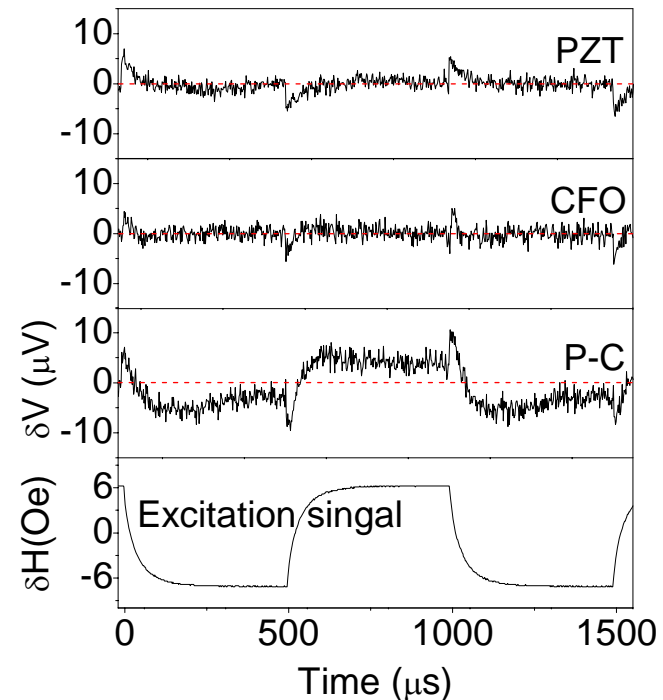
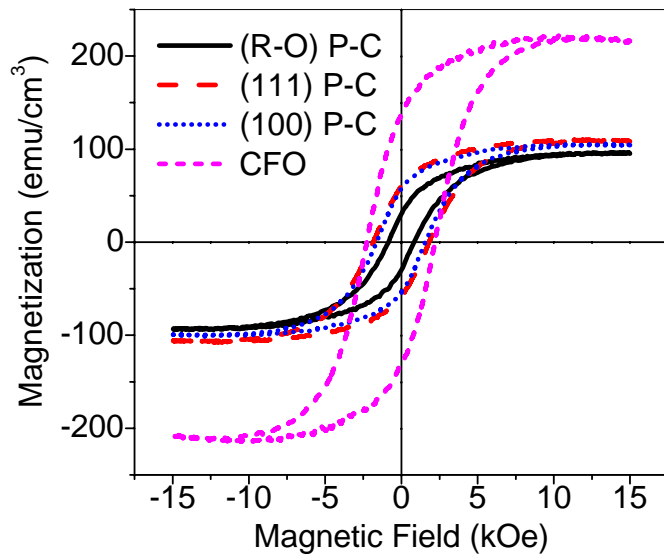
CFO/PZT on Pt/Si by Sol-gel



清华大学
Tsinghua University



P-C



He et al, *J. Appl. Phys.* **103**, 034103 (2008)

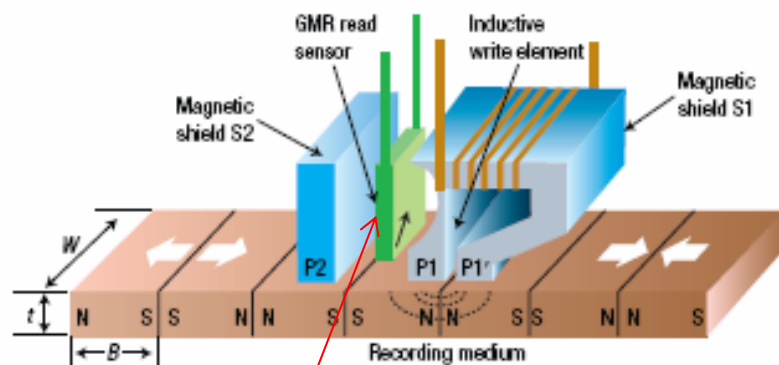


清华大学

Tsinghua University

磁场 调控 电

✓ 微磁场传感器： 读取磁头



MR磁头 (有源磁头):

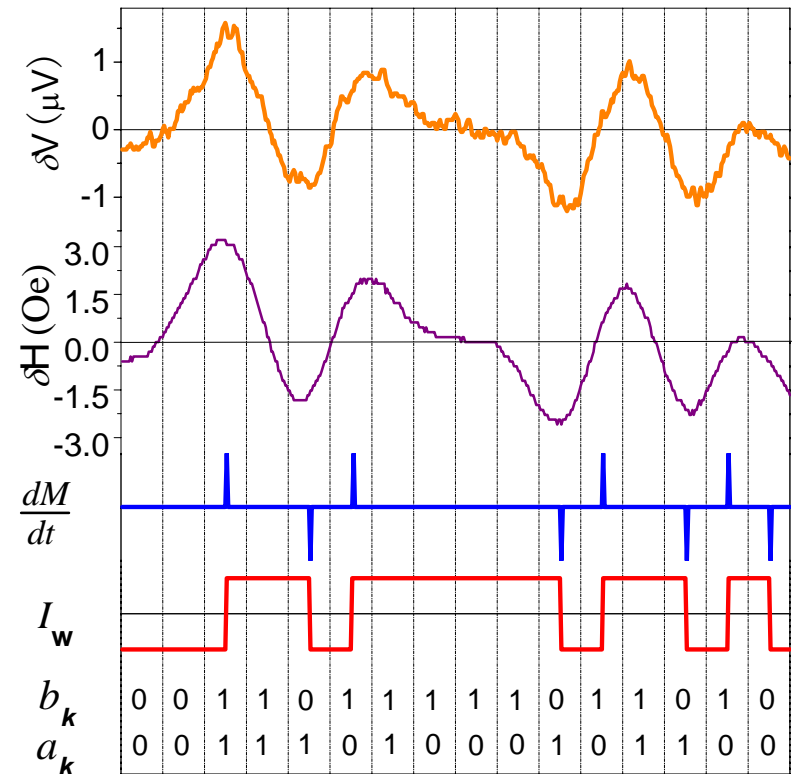
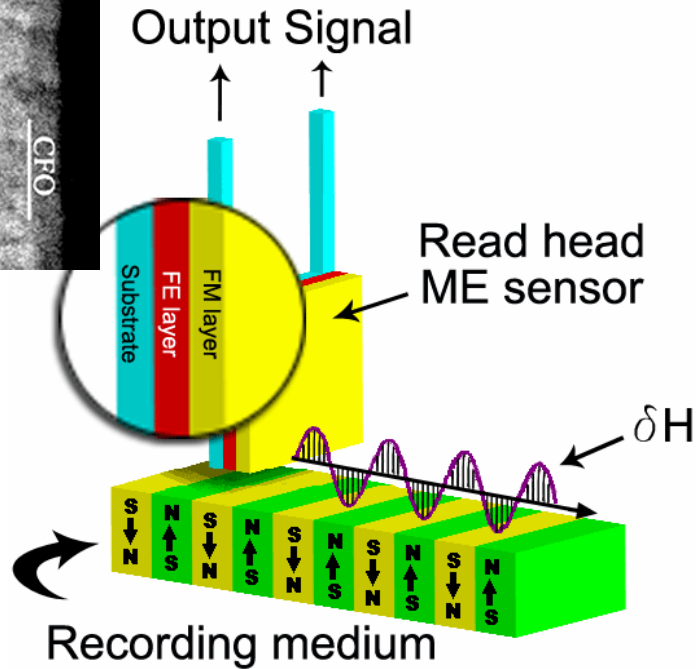
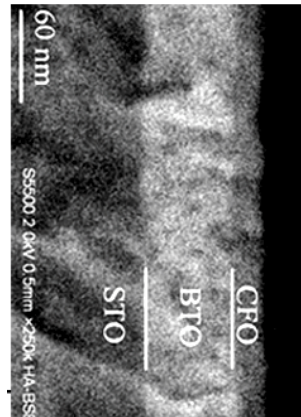
$$\Delta V = I \Delta R(\delta H)$$

ME磁头 (无源磁头):

$$\Delta V = \alpha \delta H$$

新型 ME 磁头

CFO/BTO on STO by PLD

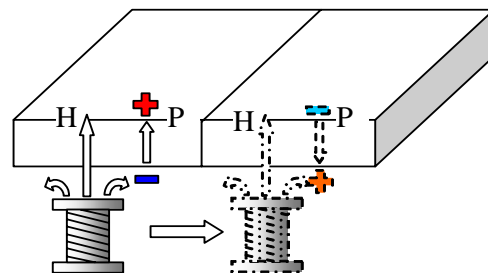




电场 调控 磁性

- ✓ 自旋电子器件
- ✓ 存储器件

“电写磁读”



磁电存储器概念

Eerenstein et al., *Nature* **442**, 759 (2006)

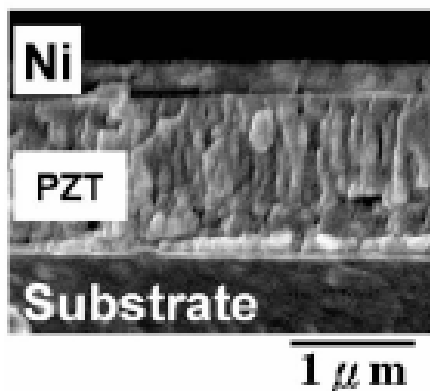
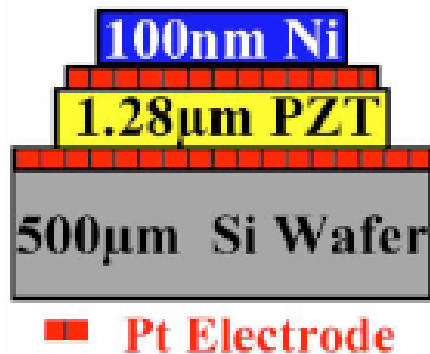
ME effect: 电场调控磁性



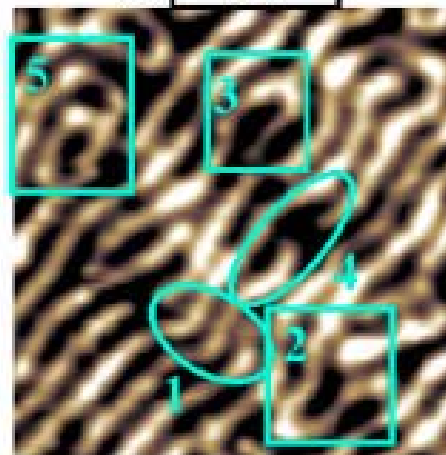
清华大学

Tsinghua University

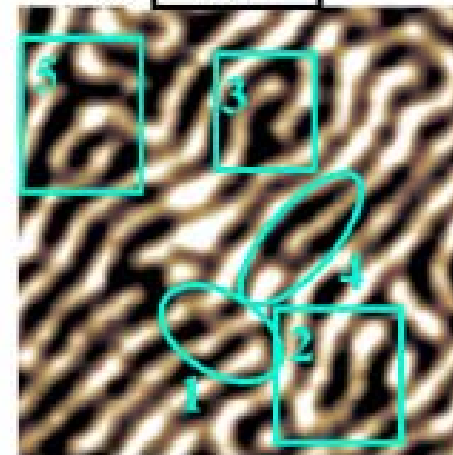
Strain-Mediated 耦合机制



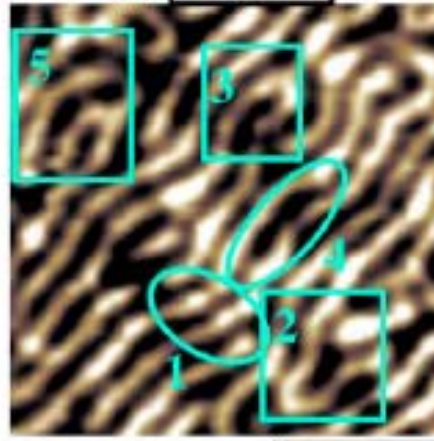
(a) 0V



(b) 10V

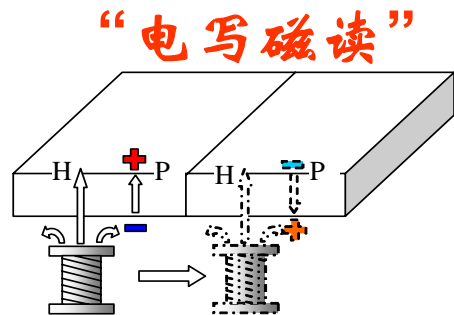


(c) 0V





ME effect: 电场 调控 磁性



室温下，单相化合物？

磁电存储器概念

Eerenstein et al., *Nature* 442, 759 (2006)

BiFeO_3 : 铁电 - 反铁磁 (FE-AFM)

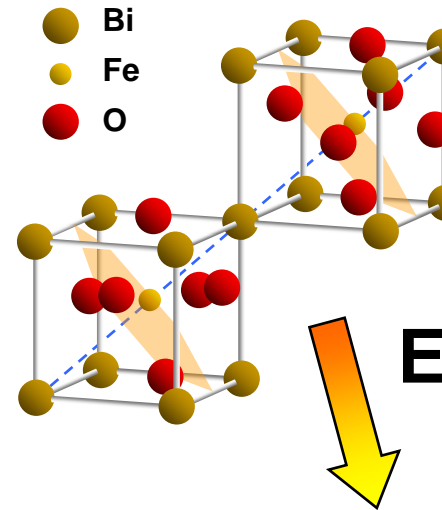
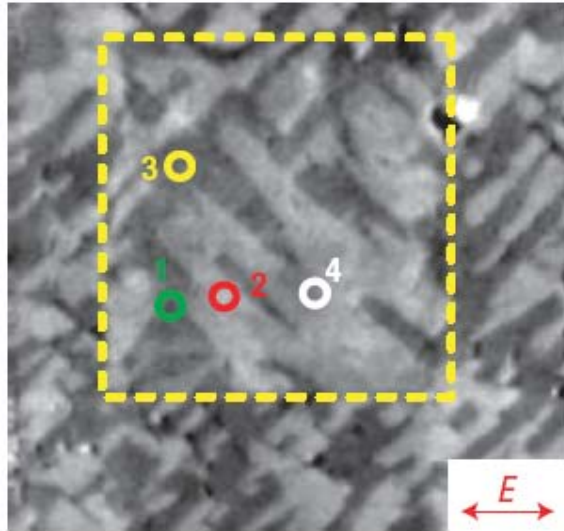
- (1) 电场 FE 电畴 switching → AFM 序变化
- (2) AFM 磁交换 (钉扎) 作用 → FM

Electric Control of Antiferromagnetism

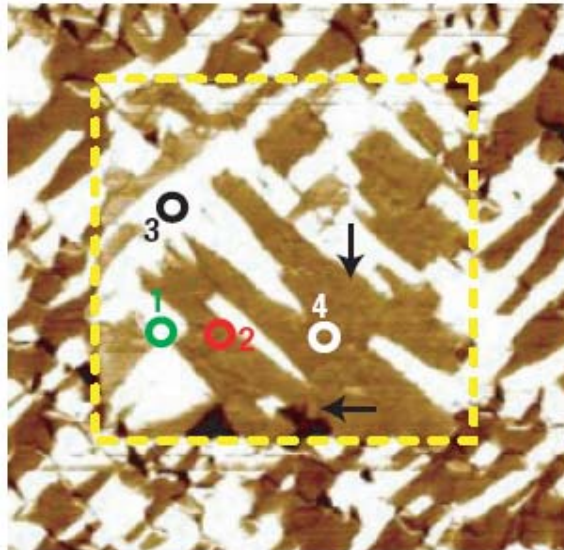


清华大学
Tsinghua University

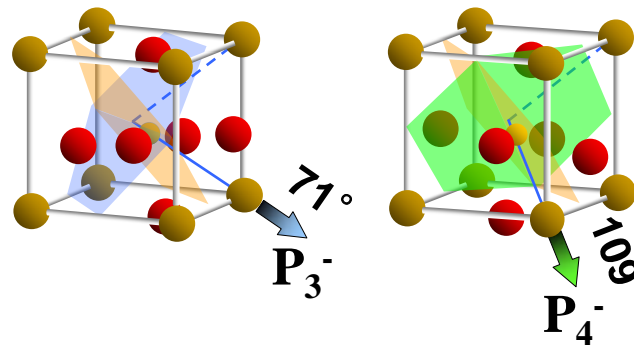
Photoemission Electron
Microscopy



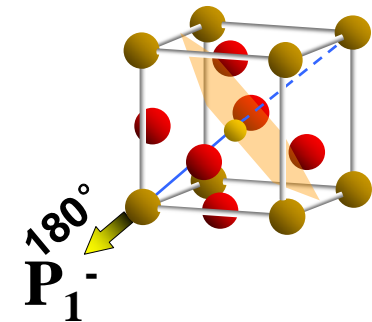
Piezoresponse Force
Microscopy



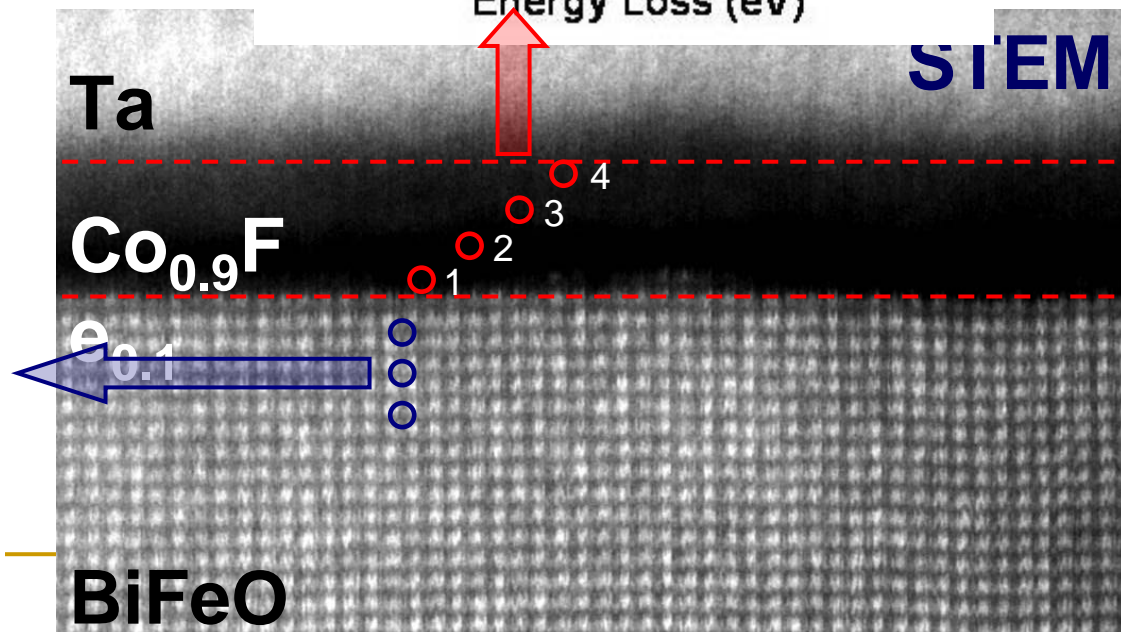
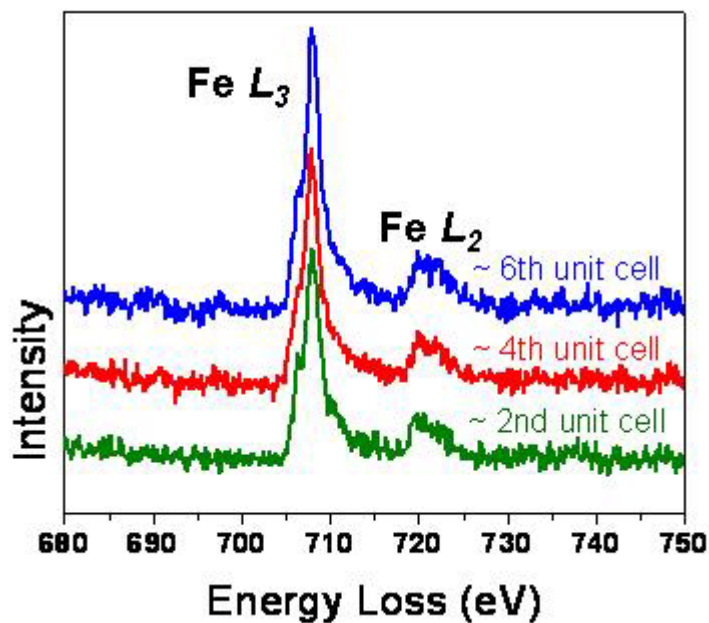
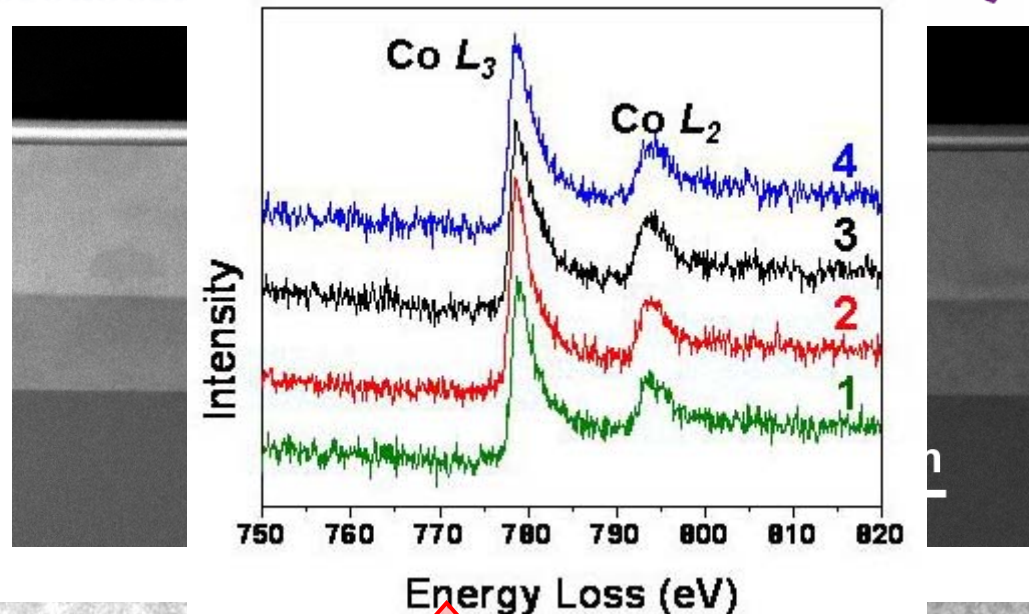
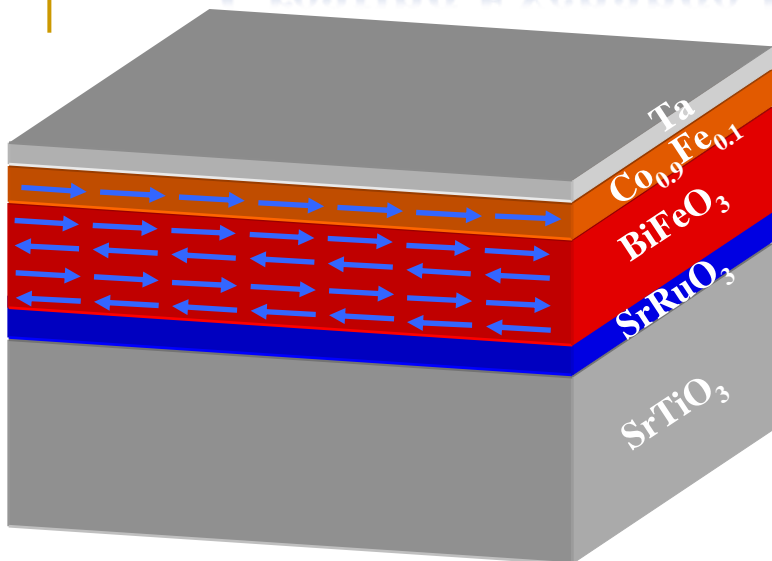
Ferroelastic \rightarrow Rotation of
Magnetization Plane



Ferroelectric \rightarrow No
Rotation of Magnetization
Plane



Creating Exchange Heterostructures



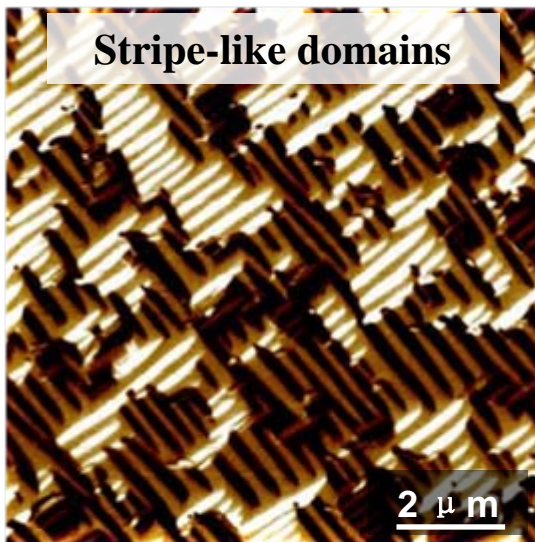
FE Domain Control of Exchange



清华大学

Tsinghua University

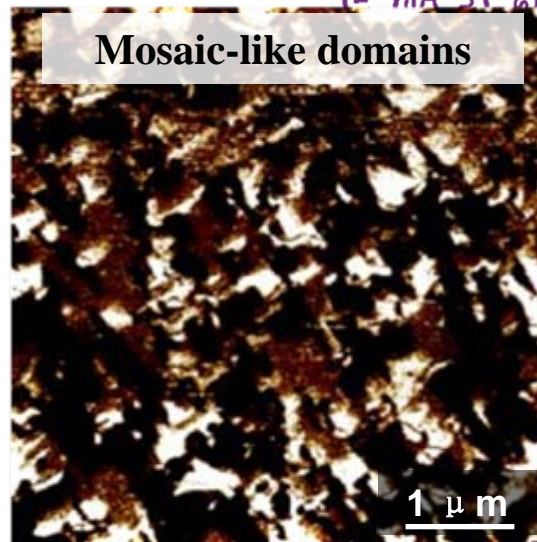
Stripe-like domains



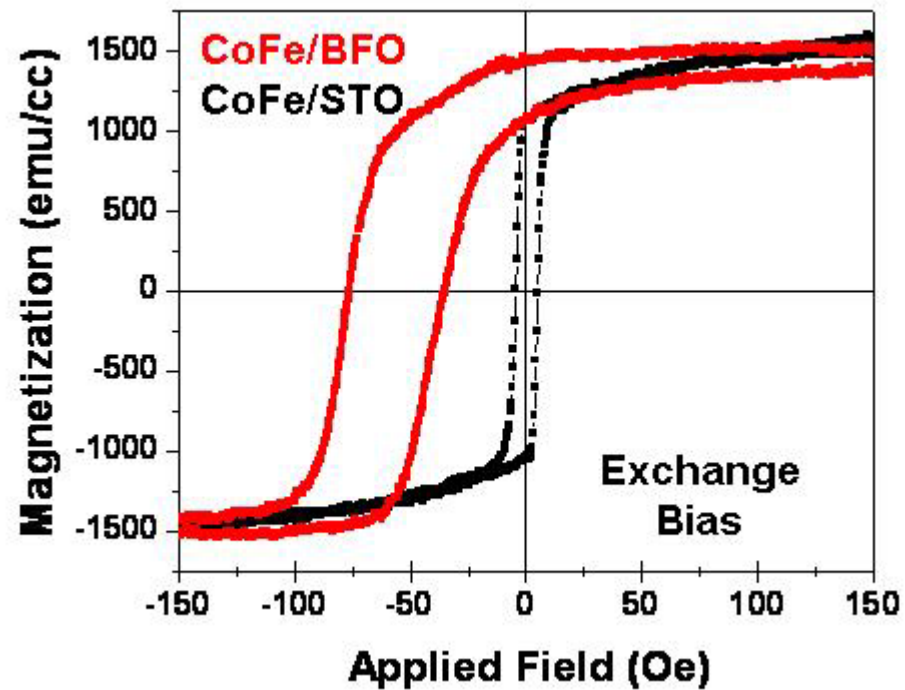
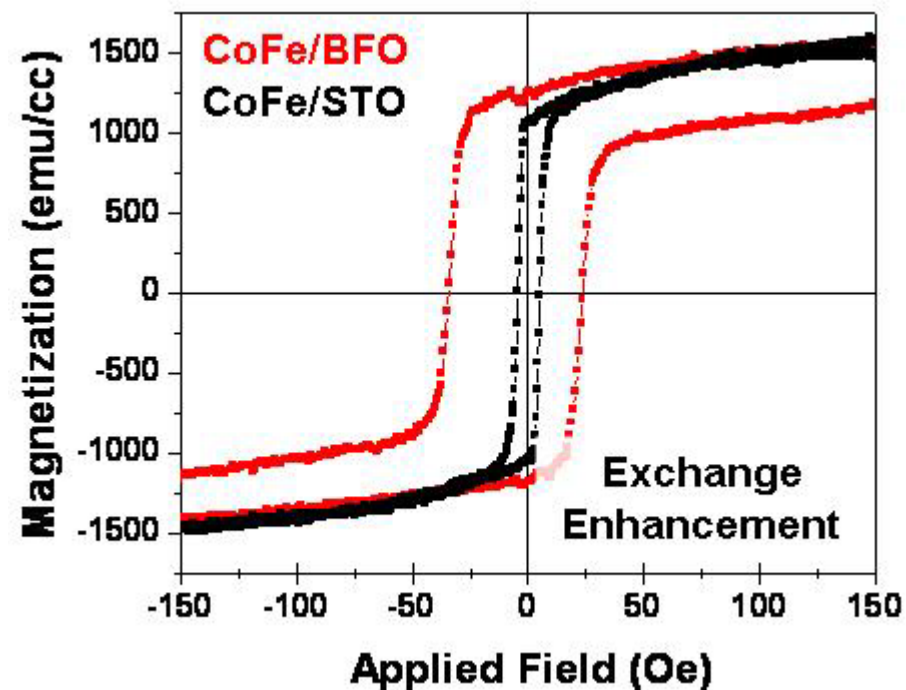
71° Domain Walls on (101) Planes

Streiffer, *et al.*,
JAP 83, 2742
(1998)

Mosaic-like domains



109° Domain Walls on (001) Planes

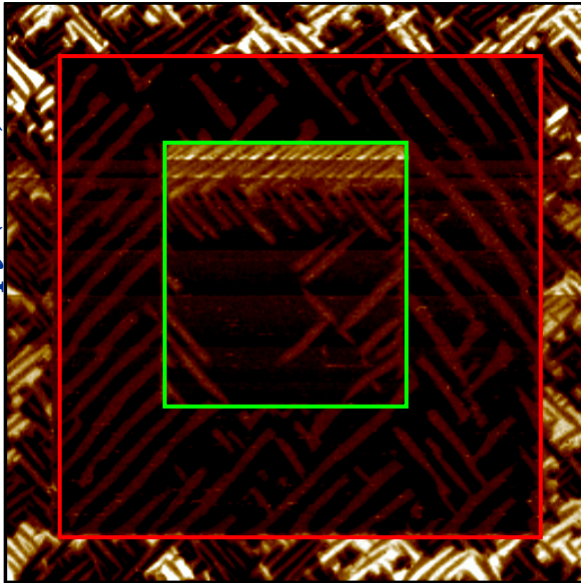


Electrical Control of Magnetism

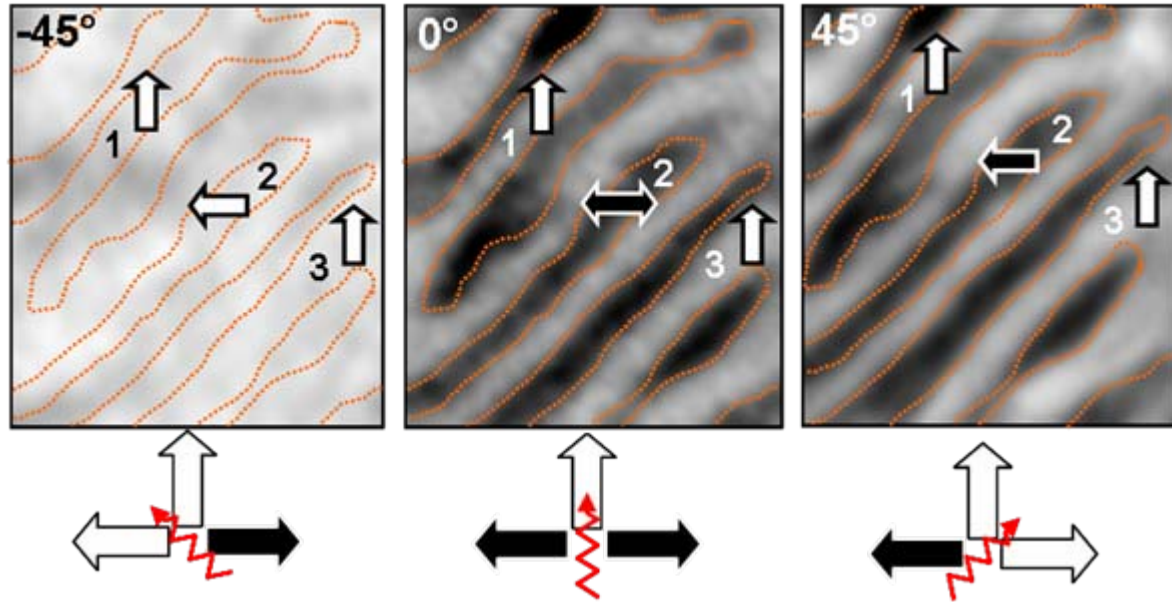
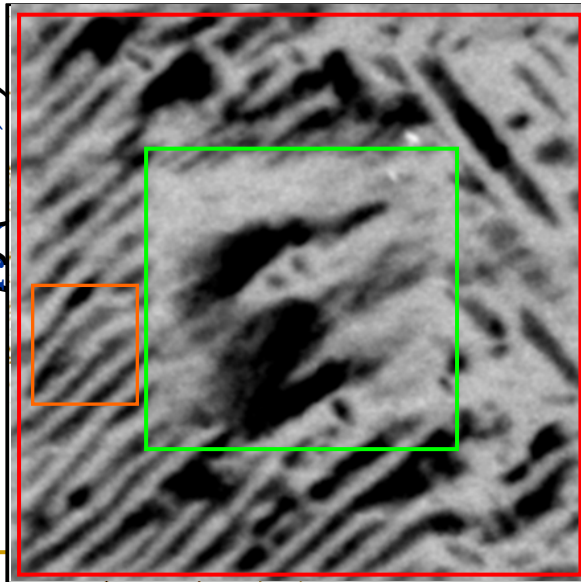


清华大学
Tsinghua University

In-plane Piezoforce
Microscopy (PFM)



Photoemission Electron
Microscopy (PEEM)



- Rotation of sample reveals true directions of CoFe spin alignment
- 90° Néel Walls
- $M_{\text{CoFe}} // L_{\text{BFO}}$

(grey: spin up; dark: spin side-to-side)

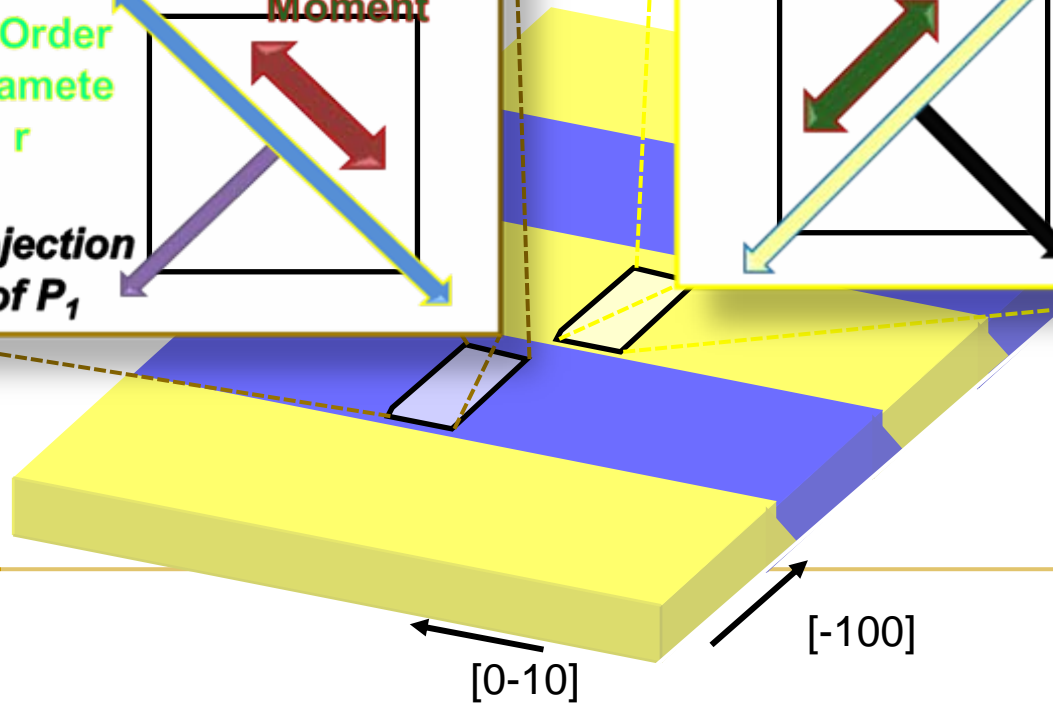
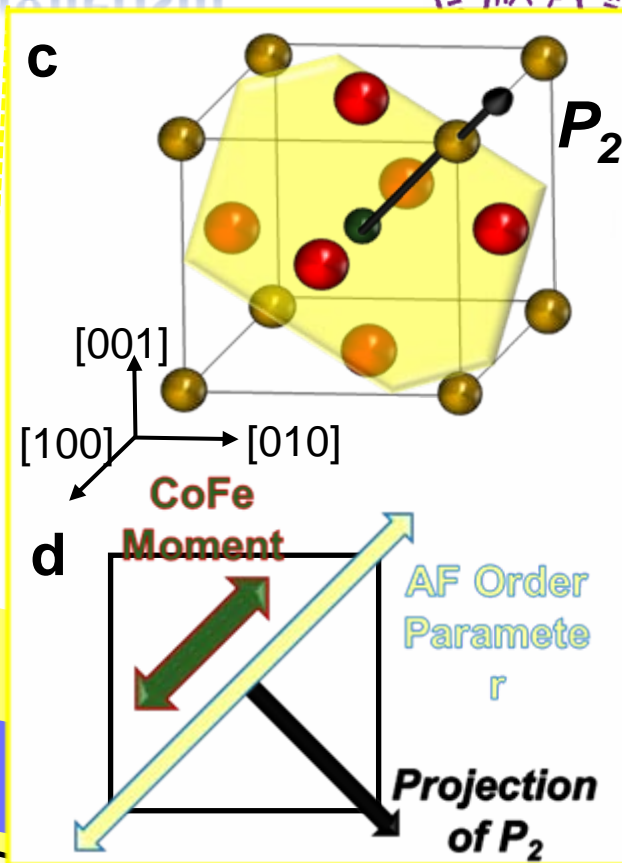
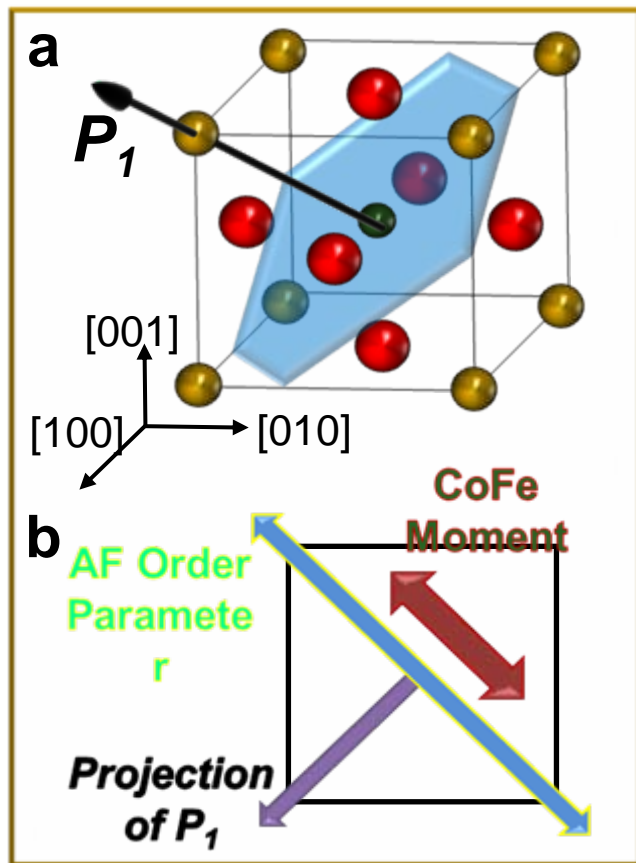
Chu *et al.* *Nature Materials*, 7 (2008).

Electrical Control of Magnetism

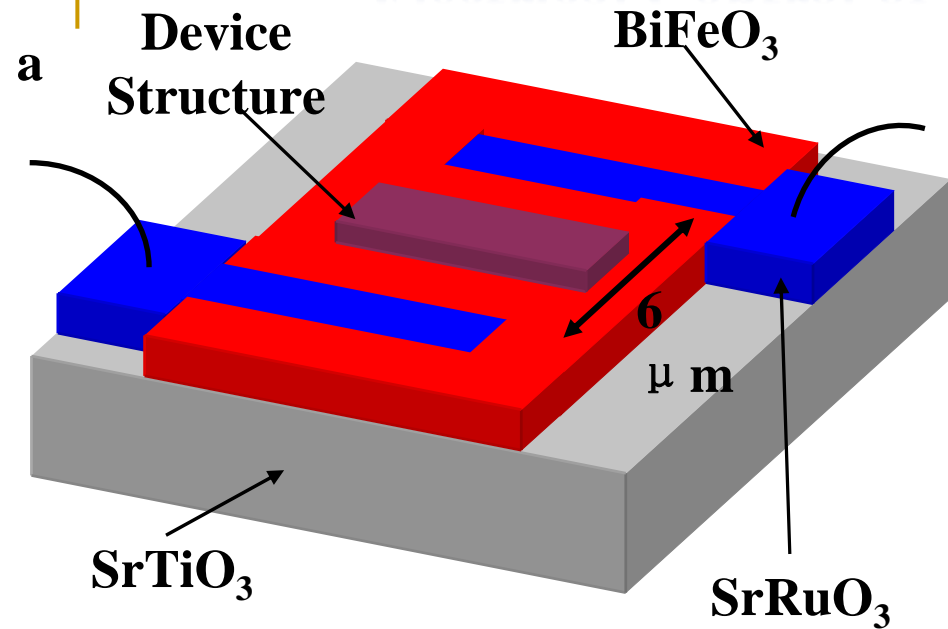


清华大学

Tsinghua University



Electrical Control of Magnetism



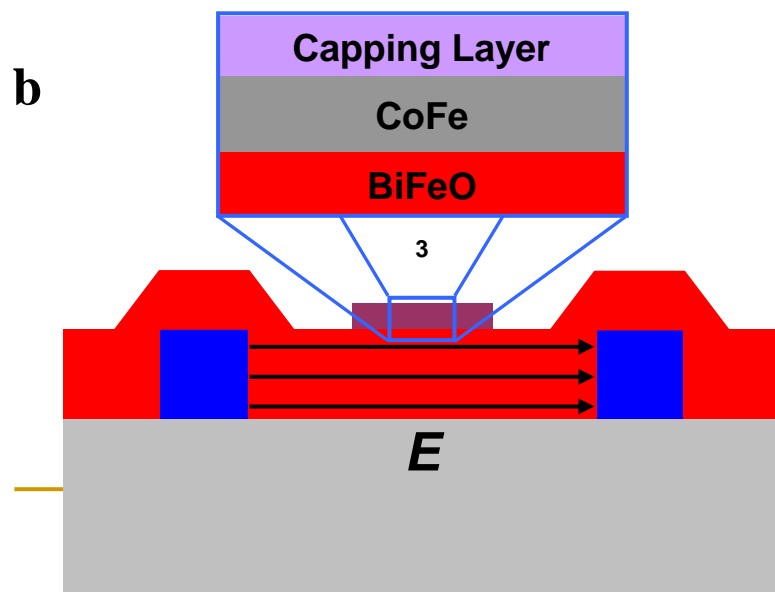
As Grown



1st Electrical Switch



2nd Electrical Switch

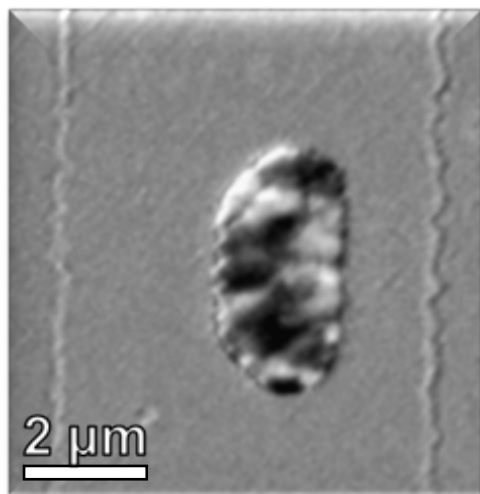


Electrical Control of Magnetism

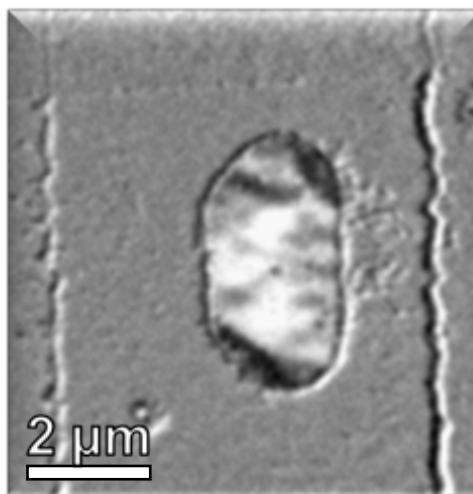


清华大学

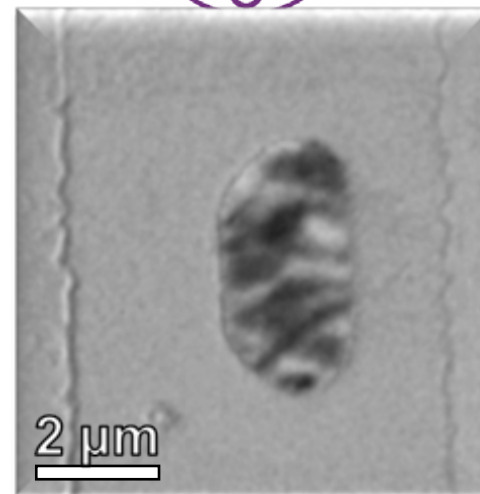
Tsinghua University



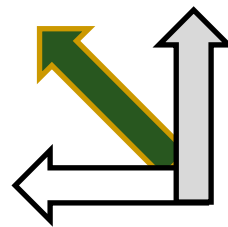
b



c



e



f

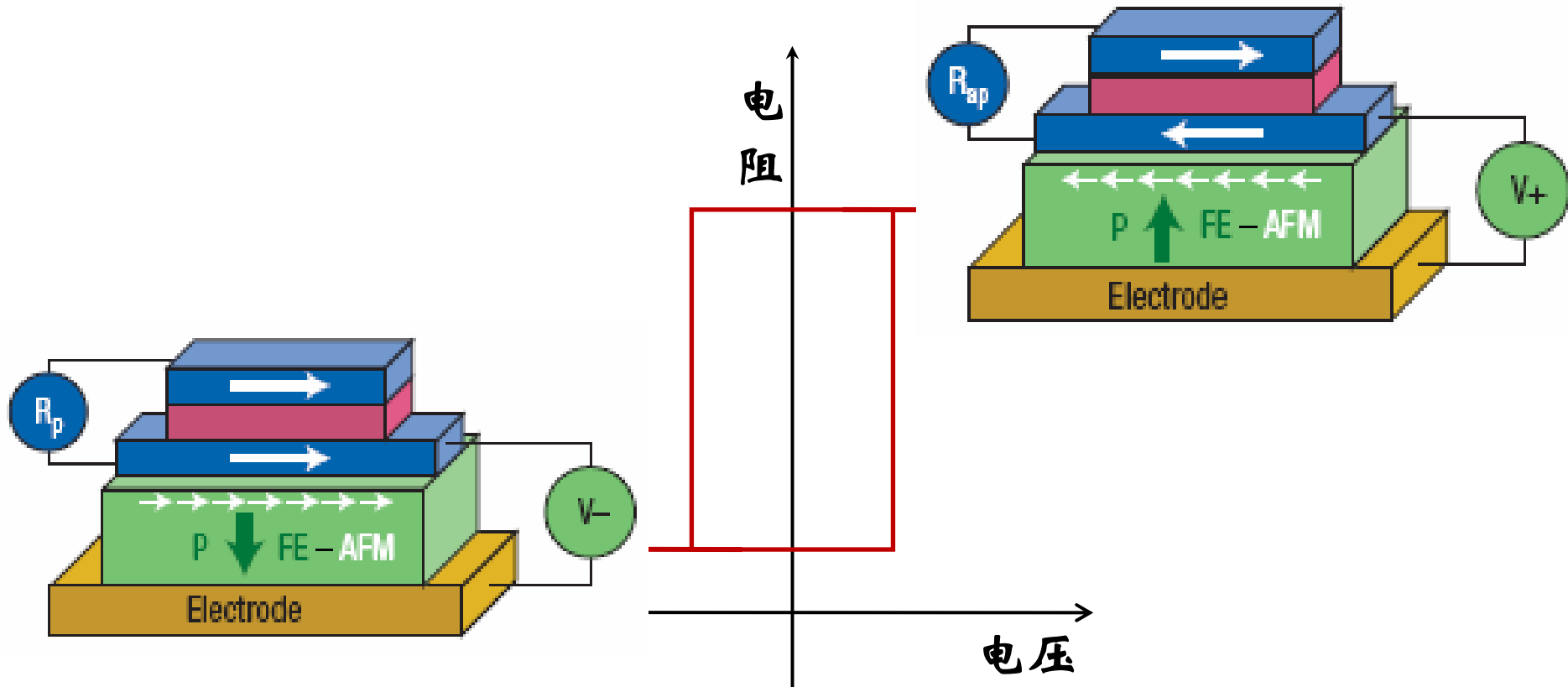


Applied Field
During Growth
(200 Oe)

Incoming X-ray
Direction

Net Magnetization of
CoFe Feature

磁电 RAMs



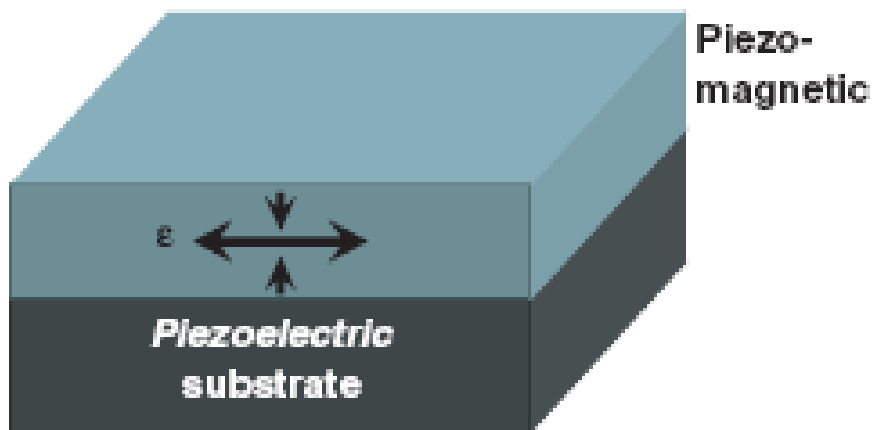
V. 单层薄膜复合



清华大学

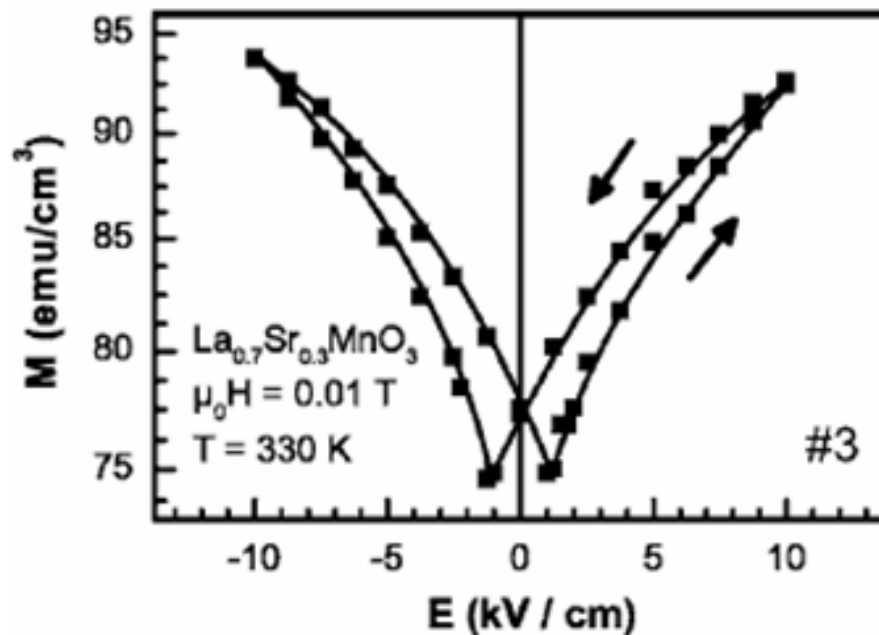
Tsinghua University

电场 调控 磁性



铁磁薄膜/铁电单晶基片

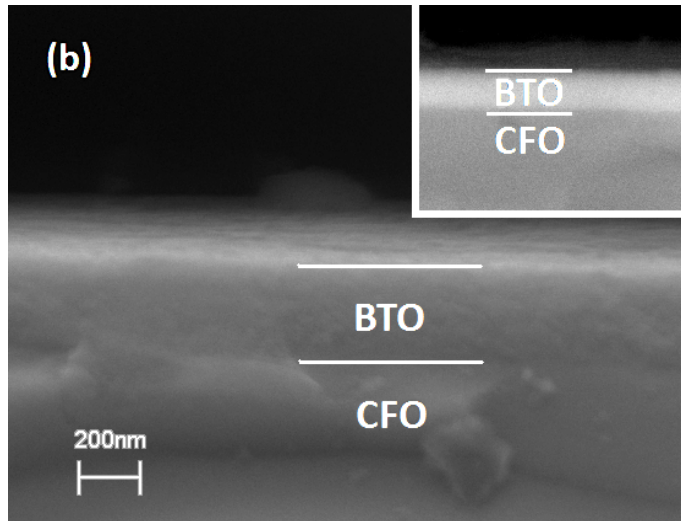
Strain-Mediated 耦合机制



LSMO/PMN 单晶

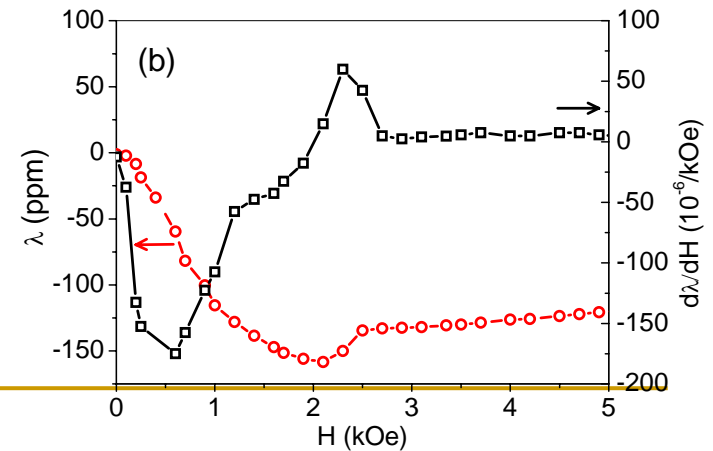
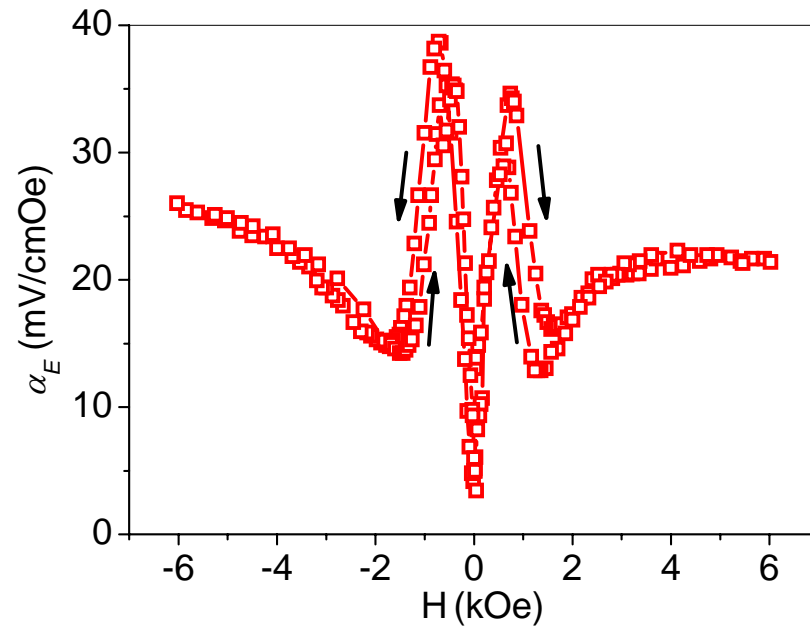
Dorr et al., *Phys. Rev. B*, 75, (2007)

磁场 调控 电性



EHT = 20.00 kV
WD = 6 mm
Signal A = InLens
Date :15 Jan 2008

BTO/CFO 陶瓷



VI. 结语



✓ on-chip integration. infant stage

➤ 器件应用导向的纳米生长控制：

(a) 不同结构外延生长控制

(b) 周期结构，磁电超晶格

➤ 概念、理解：

(a) 耦合新机制：其他机制？

耦合动态问题(时间)：磁控电极化、电控磁性

(b) 纳米结构对磁电耦合的影响

(c) 尺寸效应

(d) 原子尺度界面耦合